

# 第7章 発振回路

信号を生成する回路

発振回路の役割と動作原理

## 7.1 発振回路の基礎

# 電子回路の機能分類

交流信号→交流信号

||

信号処理回路

(Signal processing  
circuit)

直流→交流信号

||

発振回路

(Oscillator)

交流→直流(整流)

直流→交流(インバータ)

直流→直流(電圧変換)

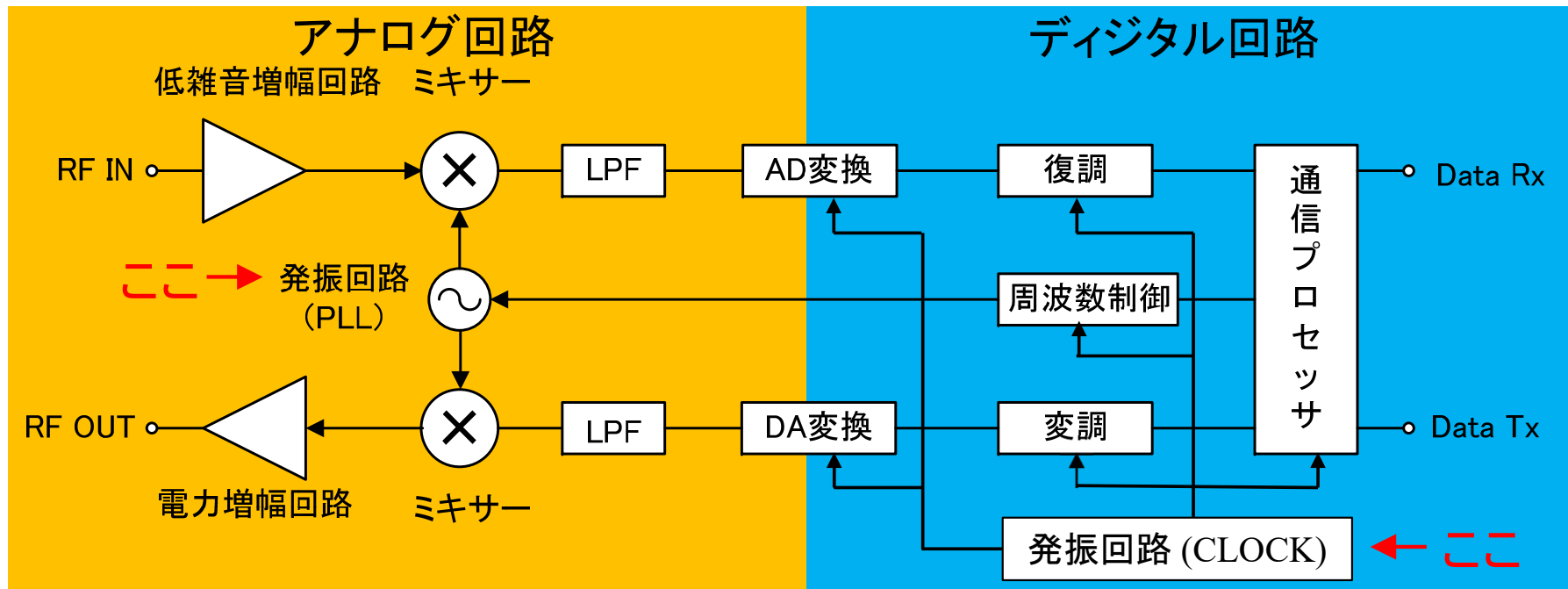
||

電源回路

(Power supply)

# 発振回路の使用例

## 無線通信器の構成例



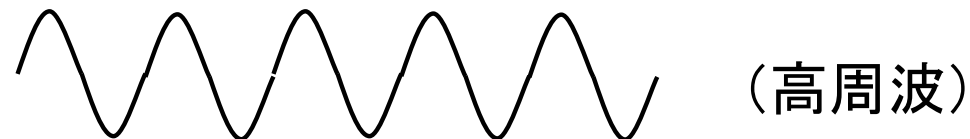
- PLL(Phase locked loop)
  - 発振回路の周波数をデジタル値により決定する回路
  - 周波数は基準信号の定数倍(デジタル値)になる
- Clock
  - 基準信号の定数倍の周波数の矩形波
  - 離散時間回路(デジタル回路、ADC、DAC)の動作に必要

# 発振回路の役割

- 同期のためのクロック(Clock)の生成
  - デジタル回路、ADC、DACなどにおいて、データ更新やサンプリングのタイミングを決める同期信号



- 無線通信のためのキャリア(Carrier)の生成
  - 無線通信で送信する搬送波(キャリア)信号
  - キャリアの周波数や位相を変化させることにより情報が送られる



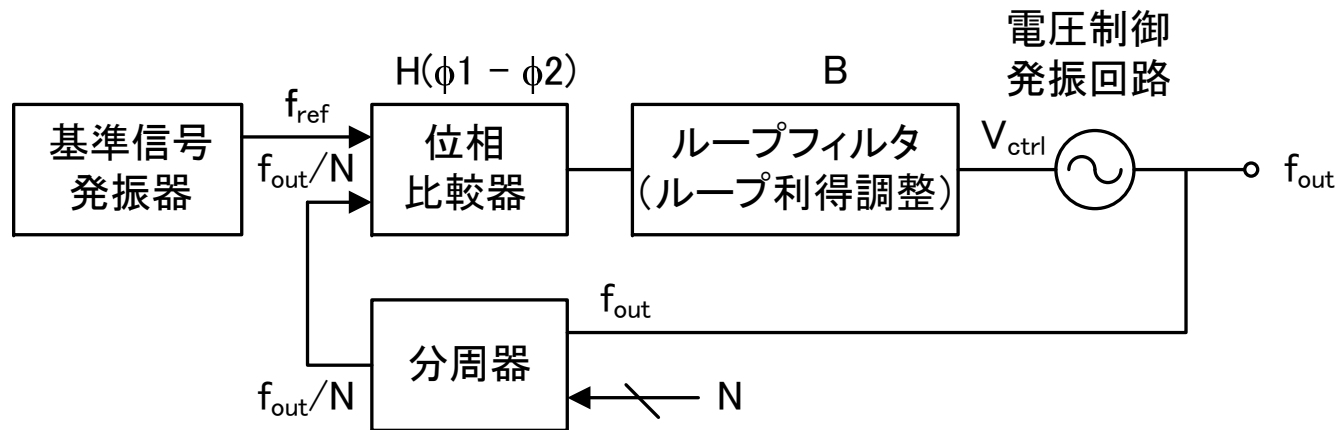
- 周波数を制御するための基準信号(Reference signal)の発生
  - クロックやキャリアの周波数を正確に制御するための信号
  - クロックやキャリアと基準信号と同期させることにより周波数精度を高める



# 周波数のデジタル制御

発振回路は温度や電源電圧の影響を受けやすいので、周波数または周期の情報をフィードバックして、正確な周波数の信号を作る。

PLL(Phase locked loop)による周波数制御の例

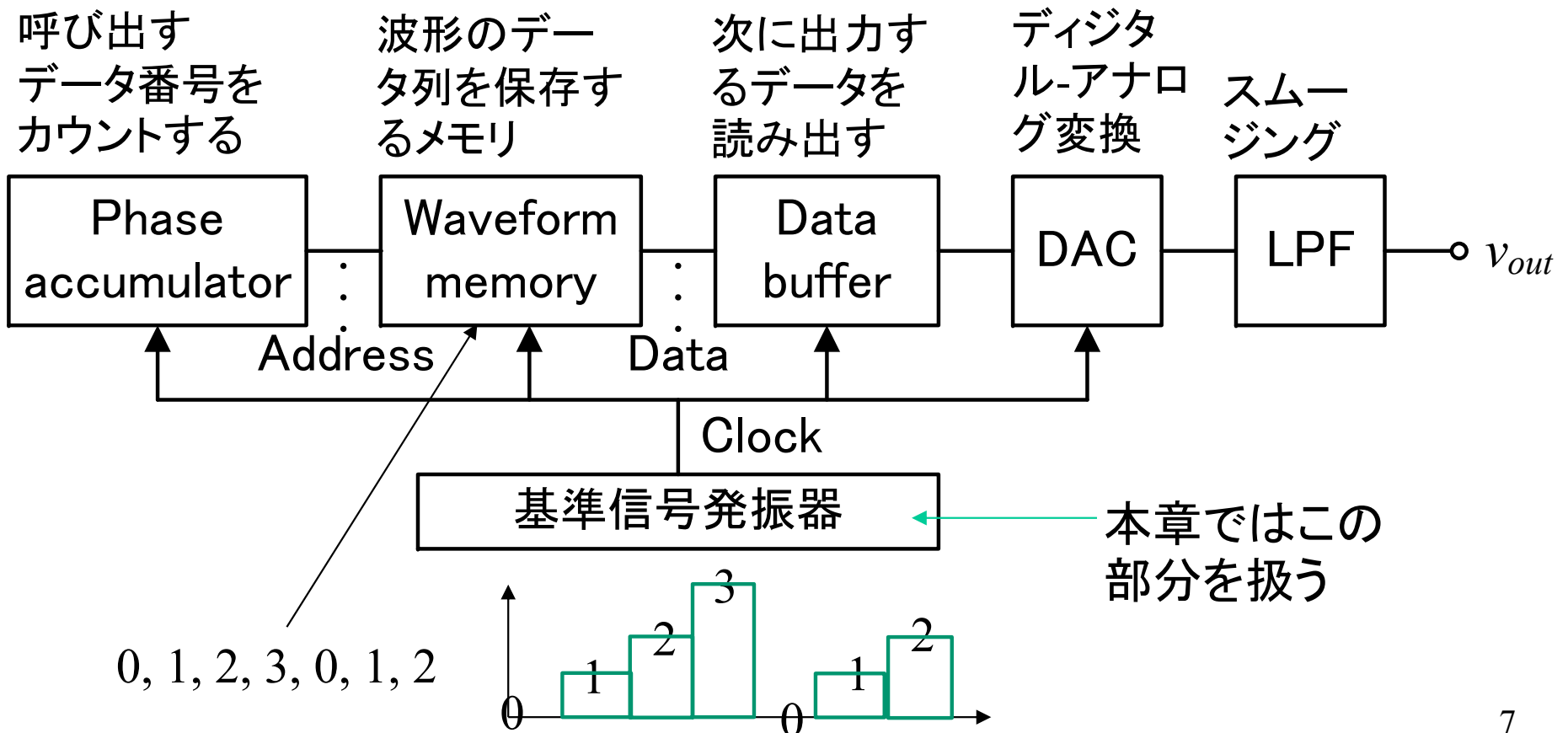


基準信号発振器	周波数精度の高い発振回路。
位相比較器	波形の位相ずれに比例した直流電圧を出力。
電圧制御発振回路	直流電圧で周波数を制御する発振回路。
分周器	周波数を1/N倍する(Nはデジタル値)。

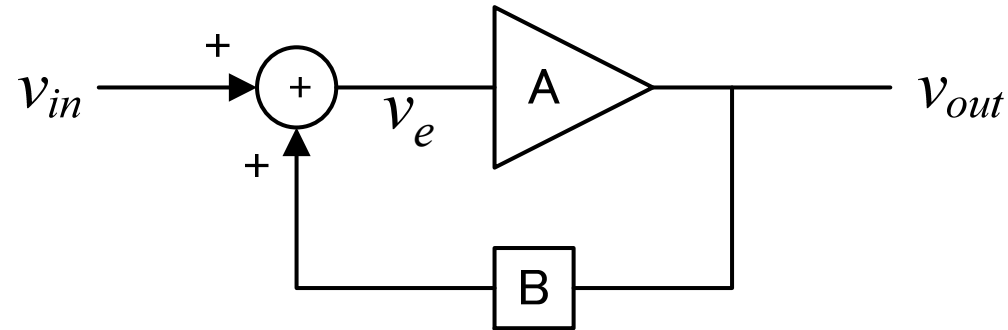
# 波形のデジタル制御

波形データによっていろいろな波形を作ることができる。周波数が低い場合は、ソフトウェアでも実現可能。

## DDS(Direct Digital Synthesizer)による波形制御の例



# 正帰還回路の性質



$$\begin{cases} v_{out} = Av_e \\ v_e = v_{in} + Bv_{out} \end{cases} \Rightarrow v_{out} = \frac{A}{1 - AB} v_{in}$$

$AB = 1$  のとき、 $v_{in} = 0V$  でも  $v_{out} \neq 0V$

**ループ利得  $AB$**

$AB$  が複素数のとき、 $\text{Im}[AB] = 0$   $\text{Re}[AB] = 1$

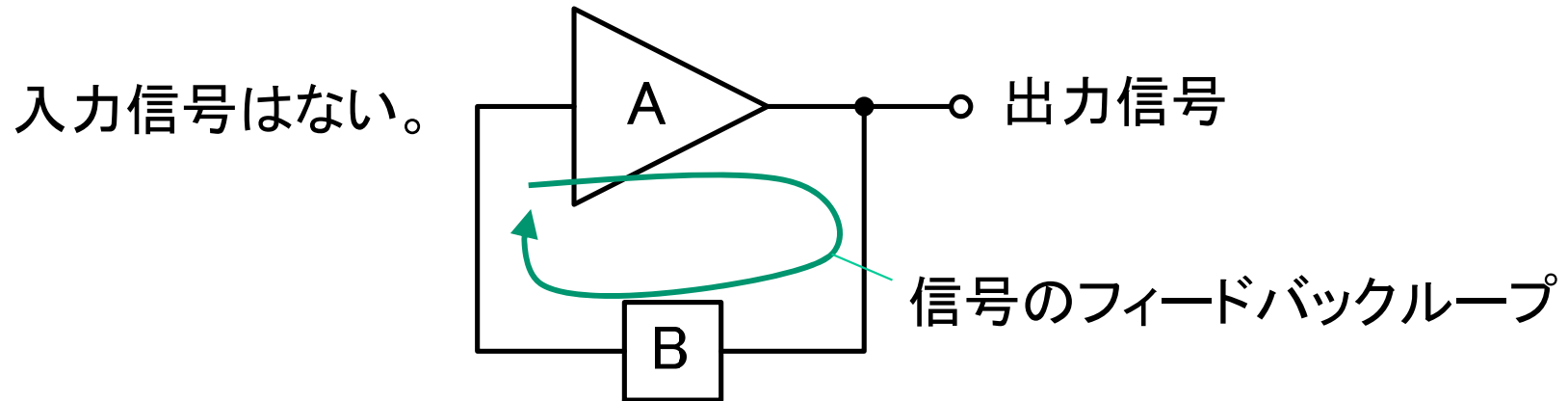
位相条件 (または周波数条件):  $\text{Im}[AB] = 0$

振幅条件 (または電力条件):  $\text{Re}[AB] \geq 1$

この条件下では、入力信号がなくても出力信号が現れる。



# 発振条件



正帰還回路が発振条件を満足すると、入力が無くとも出力に信号が現れる。

- 交流で発振条件を満足→発振（微小振動が繰り返し増幅され振幅増大）
- 直流で発振条件を満足→双安定（一定の電圧が出る）

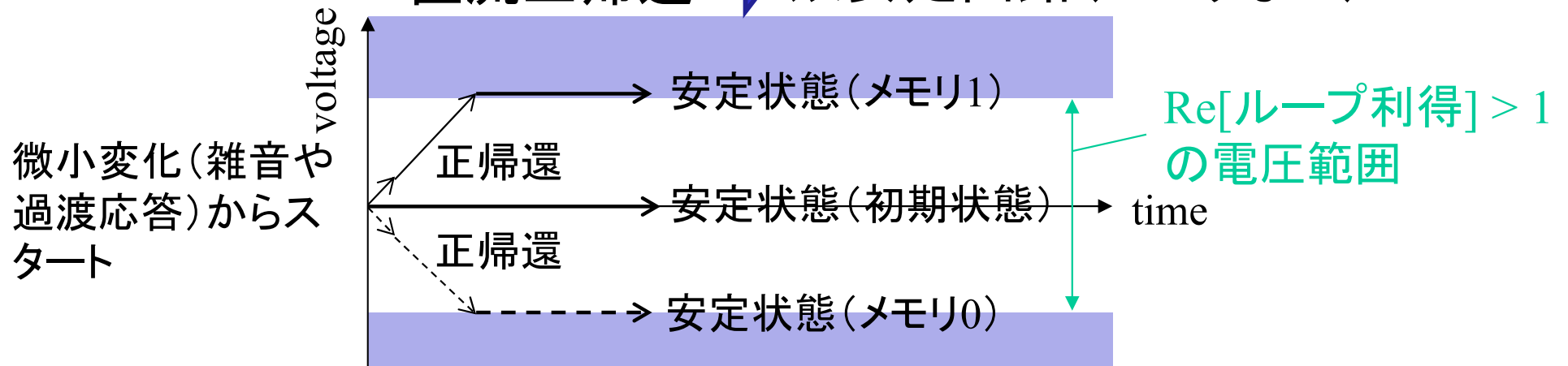
## 発振条件

1. 位相条件  $\text{Im}[AB] = 0$  （同位相の信号をフィードバック）
2. 振幅条件  $\text{Re}[AB] \geq 1$  （振幅が増大しながらフィードバック）

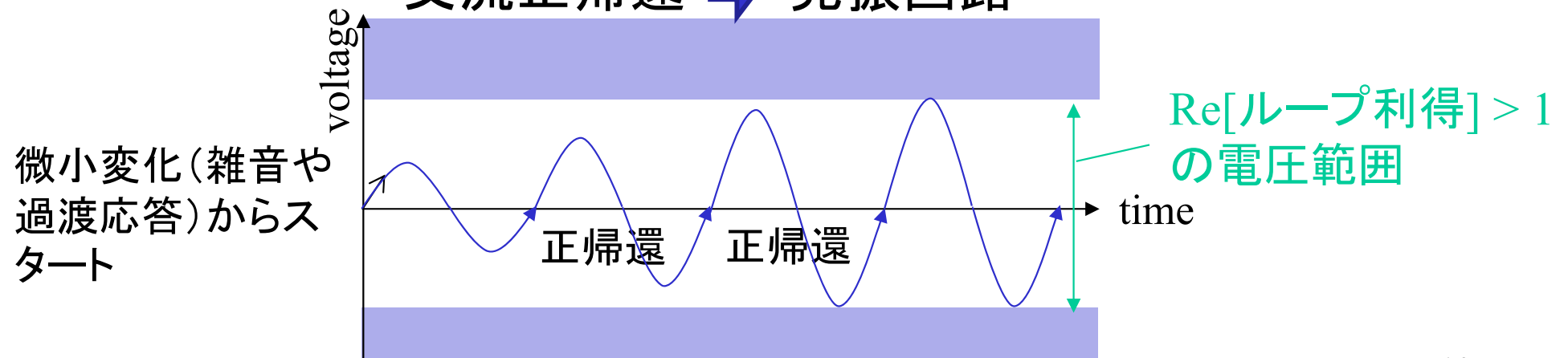
（参考）厳密には振幅条件は等式で表されるが、実際には無限に振幅が増大することはないので、上記の発振条件で一定振幅の発振が可能。

# 2種類の正帰還回路

直流正帰還 → 双安定回路(メモリなど)



交流正帰還 → 発振回路



# 発振周波数の選択

特定の周波数付近で発振させるためには、特定の周波数だけを選択して正帰還させる必要がある。

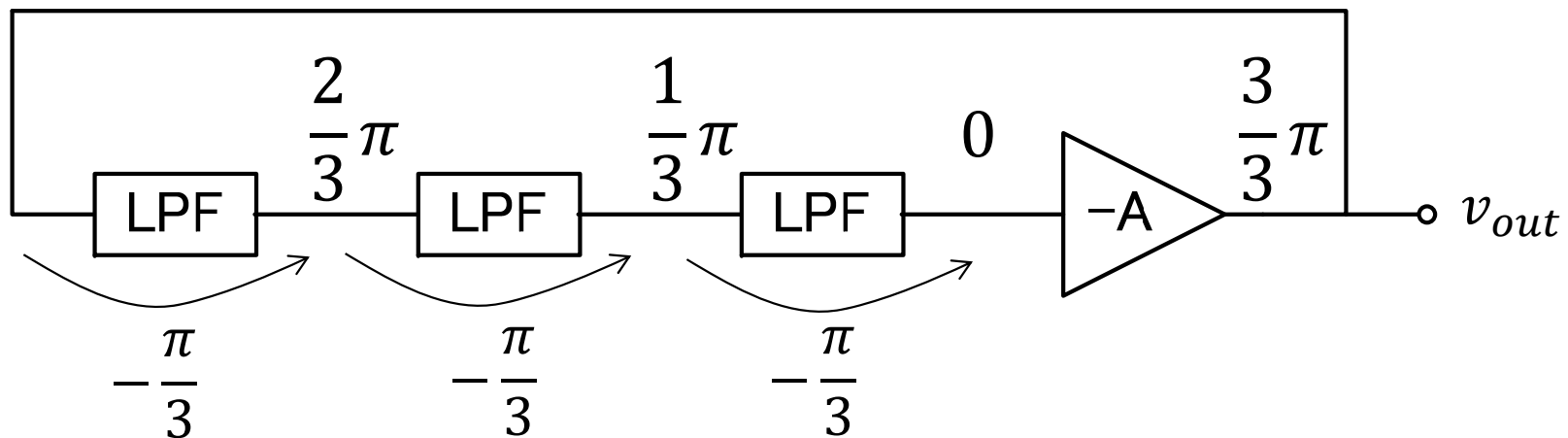
回路方式	回路例	周波数選択方法
移相型発振回路	HPF(High-pass filter)型	RCフィルタによる位相変化
	LPF(Low-pass filter)型	
周波数ブリッジ	ウイーンブリッジ発振回路(Max Wien)	Band pass filterによる周波数選択
	ツインT型	
LC共振回路	コルピッツ発振回路 (Edwin Henry Colpitts)	LC共振
	ハートレー発振回路 (Ralph Vinton Lyon Hartley)	
リングオシレータ	インバータリングオシレータ	論理ゲートの遅延時間
弛張発振	タイマーIC	RC充放電の時定数

簡便な低周波発振器

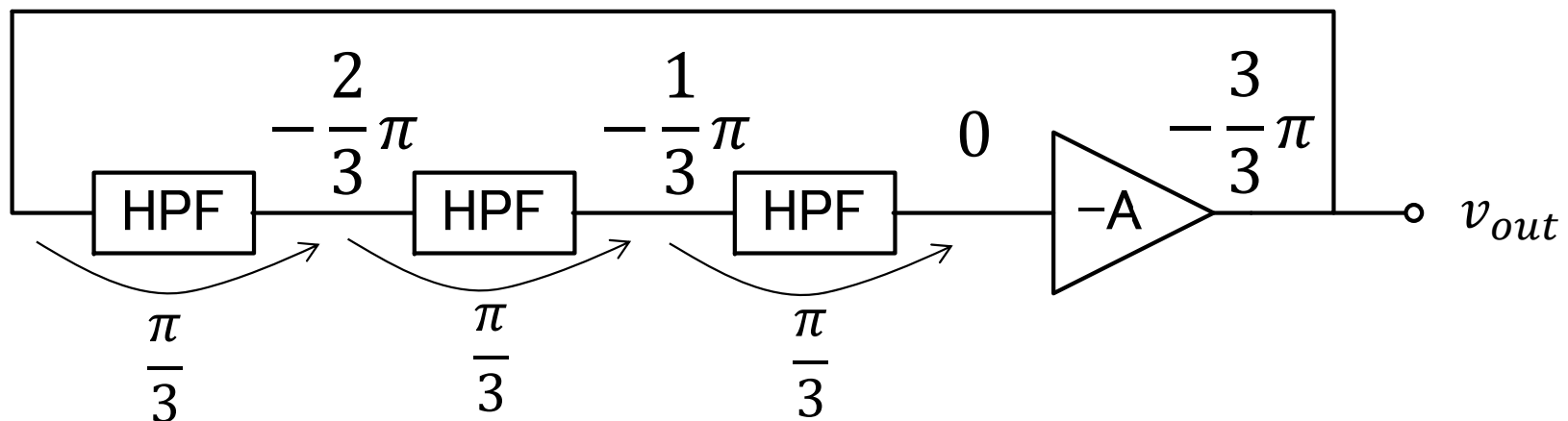
## 7.2 移相型発振回路

# 移相型発振回路(Phase shift oscillator)の動作原理

遅れ移相型発振回路

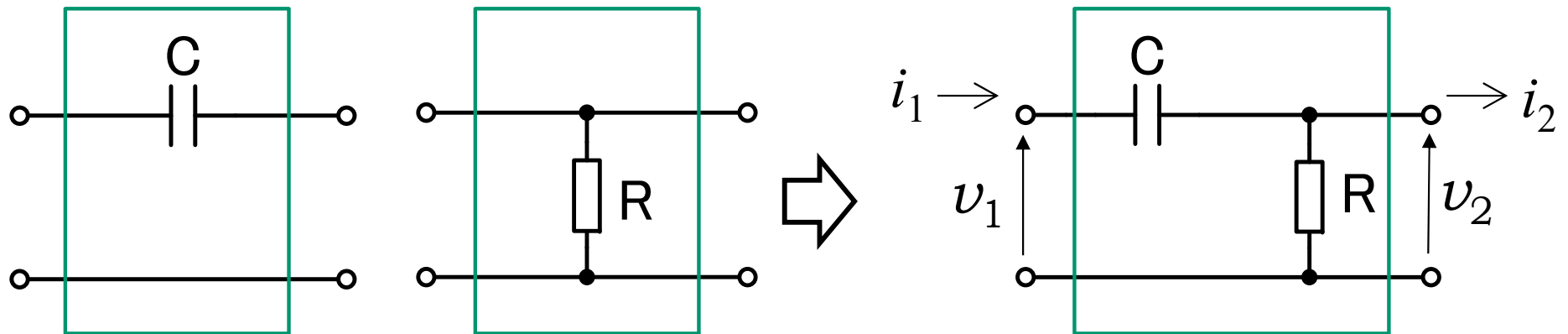


進み移相型発振回路



# 移相回路の設計(HPF)

HPFの特性をF行列で表す  $\begin{bmatrix} v_1 \\ i_1 \end{bmatrix} = \begin{bmatrix} A & B \\ C & D \end{bmatrix} \begin{bmatrix} v_2 \\ i_2 \end{bmatrix}$



$$\begin{bmatrix} 1 & \frac{1}{j\omega C} \\ 0 & 1 \end{bmatrix} \begin{bmatrix} 1 & 0 \\ \frac{1}{R} & 1 \end{bmatrix} = \begin{bmatrix} 1 & \frac{1}{j\omega C} \\ 0 & 1 \end{bmatrix} \begin{bmatrix} 1 & 0 \\ \frac{1}{R} & 1 \end{bmatrix} = \begin{bmatrix} 1 + \frac{1}{j\omega CR} & \frac{1}{j\omega C} \\ \frac{1}{R} & 1 \end{bmatrix}$$

1段の1次HPFで最大90度の位相変化→3段以上必要

# 3段移相回路の設計 (HPF)



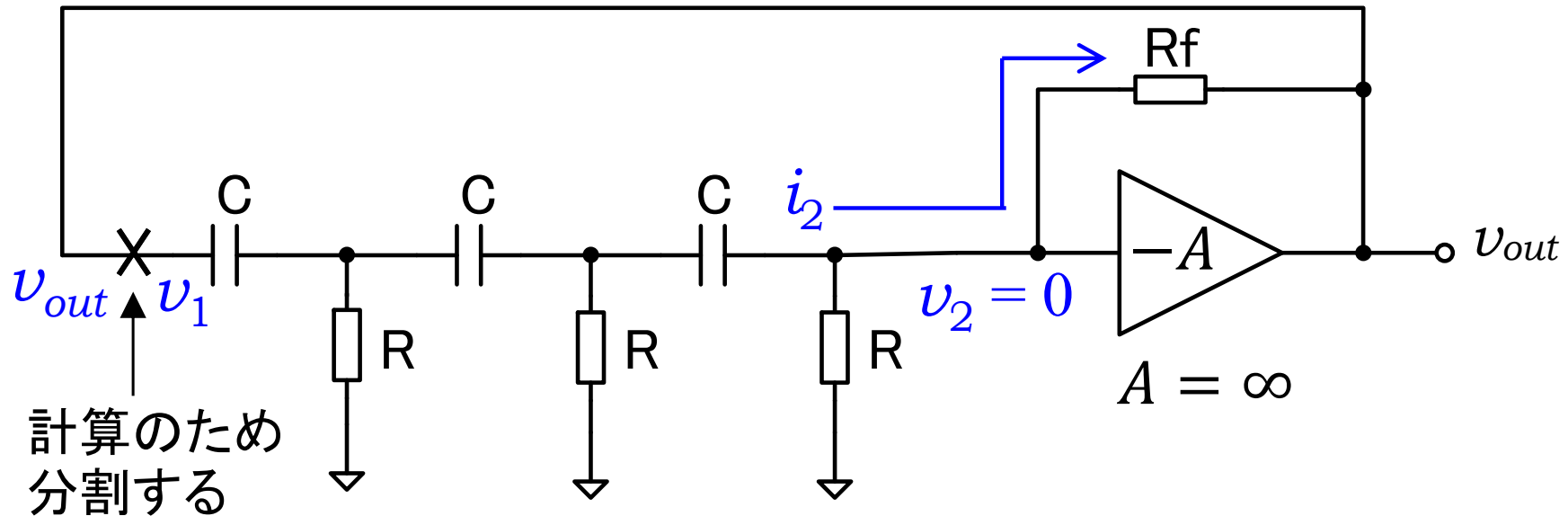
$$\begin{bmatrix} A^{(3)} & B^{(3)} \\ C^{(3)} & D^{(3)} \end{bmatrix} := \begin{bmatrix} A & B \\ C & D \end{bmatrix}^3 = \begin{bmatrix} A^3 + 2ABC + BCD & A^2B + ABD + B^2C + BD^2 \\ A^2C + ACD + BC^2 + CD^2 & ABC + 2BCD + D^3 \end{bmatrix}$$

$$\begin{bmatrix} A & B \\ C & D \end{bmatrix} = \begin{bmatrix} 1 + \frac{1}{j\omega CR} & \frac{1}{j\omega C} \\ \frac{1}{R} & 1 \end{bmatrix}$$

$$\begin{bmatrix} v_1 \\ i_1 \end{bmatrix} = \begin{bmatrix} A^{(3)} & B^{(3)} \\ C^{(3)} & D^{(3)} \end{bmatrix} \begin{bmatrix} v_2 \\ i_2 \end{bmatrix}$$

$$\begin{cases} A^{(3)} = 1 + \frac{6}{j\omega CR} + \frac{5}{(j\omega)^2 C^2 R^2} + \frac{1}{(j\omega)^3 C^3 R^3} & (i_2 = 0 \text{ の場合に使用}) \\ B^{(3)} = \frac{3}{j\omega C} + \frac{4}{(j\omega)^2 C^2 R} + \frac{1}{(j\omega)^3 C^3 R^2} & (v_2 = 0 \text{ の場合に使用}) \end{cases}$$

# 移相型発振回路( $v_2 = 0$ の場合)



$$G_{loop} = \frac{v_{out}}{v_1} = \frac{i_2 v_{out}}{v_1 i_2} = \frac{-R_f}{B^{(3)}} = \frac{R_f}{\frac{4}{\omega^2 C^2 R} - j\left(\frac{1}{\omega^3 C^3 R^2} - \frac{3}{\omega C}\right)}$$

$v_2 = 0$  より

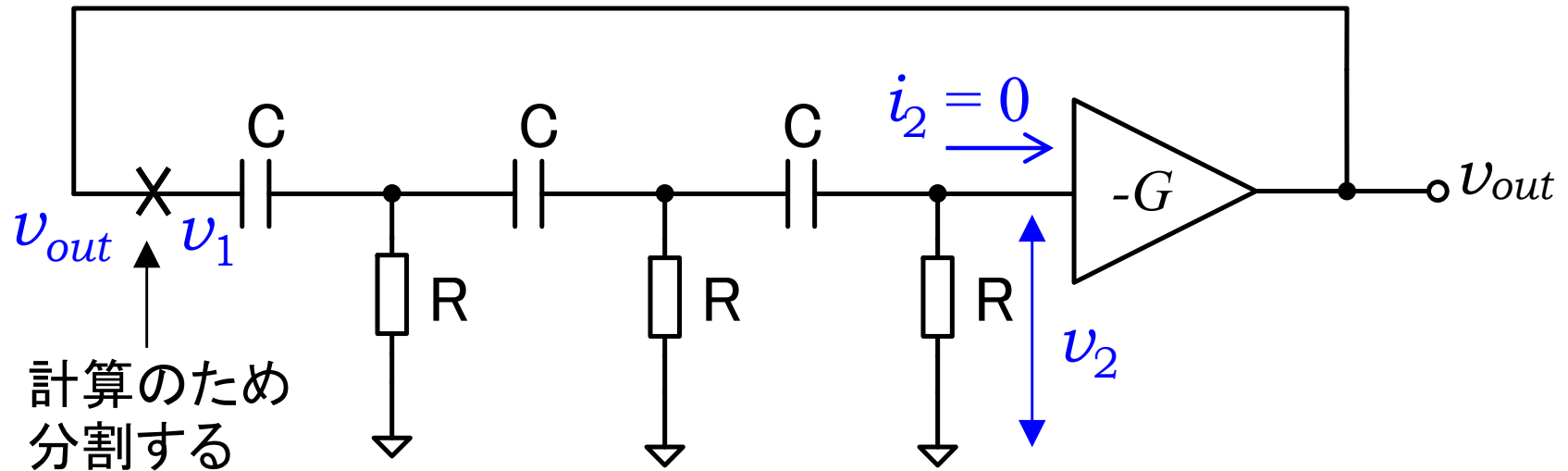
$$\begin{cases} \angle G_{loop} = \tan^{-1} \frac{1 - 3\omega^2 C^2 R^2}{4\omega C R} = 0 \\ G_{loop}(\omega = 1/\sqrt{3}CR) = \frac{R_f}{12R} \geq 1 \end{cases}$$



$$\begin{cases} \omega = \frac{1}{\sqrt{3}CR} & \text{(位相条件)} \\ \frac{R_f}{R} \geq 12 & \text{(振幅条件)} \end{cases} \quad 16$$



# 移相型発振回路( $i_2 = 0$ の場合)



$$G_{loop} = \frac{v_{out}}{v_1} = \frac{v_2}{v_1} (-G) = \frac{-G}{A^{(3)}} = \frac{-G}{1 - \frac{5}{\omega^2 C^2 R^2} + j\left(\frac{1}{\omega^3 C^3 R^3} - \frac{6}{\omega C R}\right)}$$

$i_2 = 0$  より

$$\begin{cases} \angle G_{loop} = \tan^{-1} \frac{1 - 6\omega^2 C^2 R^2}{\omega C R (\omega^2 C^2 R^2 - 5)} = 0 \\ G_{loop}(\omega = 1/\sqrt{6}CR) = \frac{G}{29} \geq 1 \end{cases} \Rightarrow \begin{cases} \omega = \frac{1}{\sqrt{6}CR} \quad (\text{位相条件}) \\ G \geq 29 \quad (\text{振幅条件}) \end{cases}$$

# 課題7. 1

1. LPF移相型発振回路の周波数条件と電力条件を求めよ。  
 $Z_{in} = \infty$ の電圧増幅回路を使用する場合と、電流-電圧変換回路を使用する場合のそれぞれについて求めること。

# 課題7. 2

1. 次スライドの移相型発振回路について、周波数条件と電力条件から、発振周波数(Hz)と発振するために必要なR4の値の範囲を計算して、レポートに示せ。
2. 次スライドのシミュレーションを実施し、回路図とV(OUT), V(N2), V(N3), V(N4)の波形をレポートに添付せよ。
3. 発振周波数(Hz)と出力電圧のRMS(V)を求めて、レポートに記載せよ。また、発振周波数(Hz)の計算値に対する誤差率を示せ。
4. .tran ディレクティブの、Time to start saving data を0sに変更して、波形が、動作開始から990msの時点で定常状態になっているか確認せよ。
5. R4 = 113k $\Omega$ のときとR4 = 109k $\Omega$ のときの波形をレポートに添付せよ。
  - R4 = 113k $\Omega$ のとき出力電圧の振幅が時間と共に減少する場合は、R4を少し大きめ(例えば、115k $\Omega$ )にすること。
6. R4 = 109k $\Omega$ のとき、発振が持続しない理由について説明せよ。

.ic で初期値設定(次  
スライド参照)

```
.ic V(OUT)=0.1V
```

```
.tran 0 1000ms 990ms
```

```
;tran 0 1000ms 0ms
```

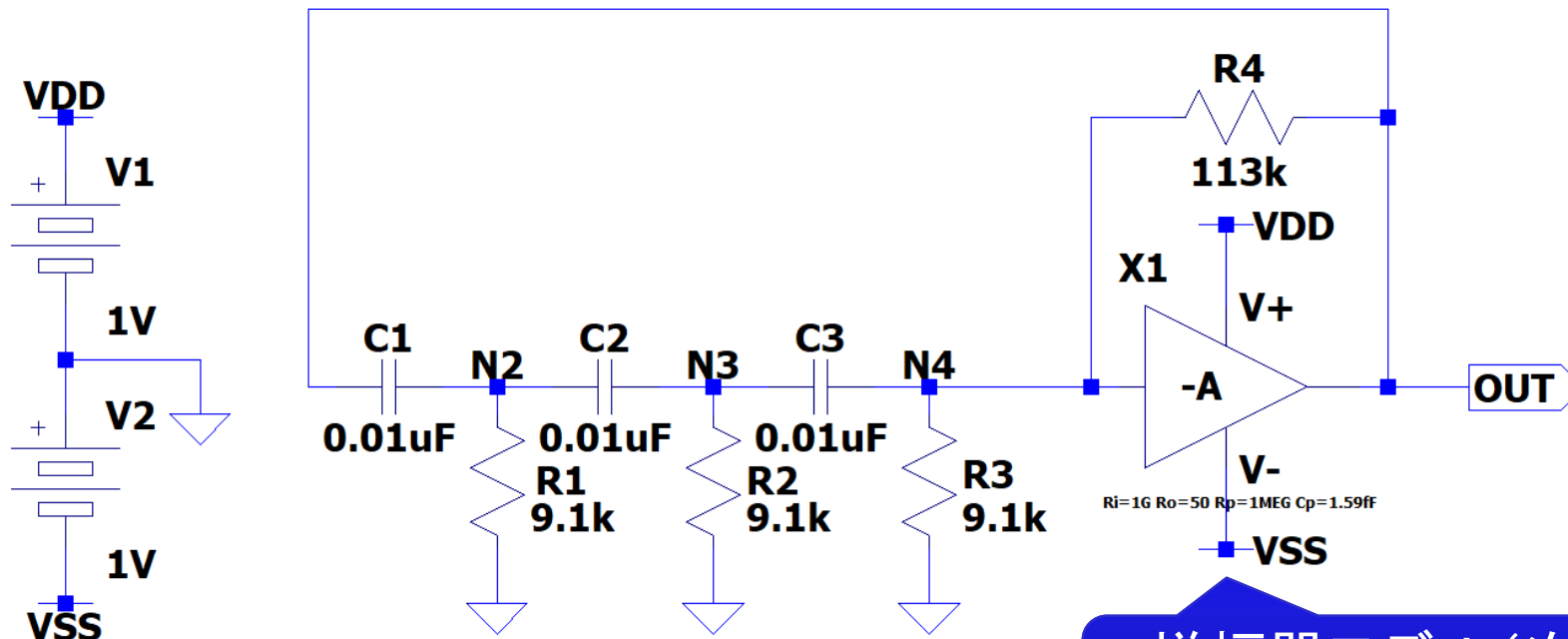
```
.meas tran Tosc trig V(OUT)=0V rise=7 targ V(OUT)=0V rise=8
```

```
.meas tran Vrms RMS V(OUT) trig V(OUT)=0V rise=1 targ V(OUT)=0V rise=8
```

# 回路図

発振周期(s)の測定

出力のRMS(V)の測定

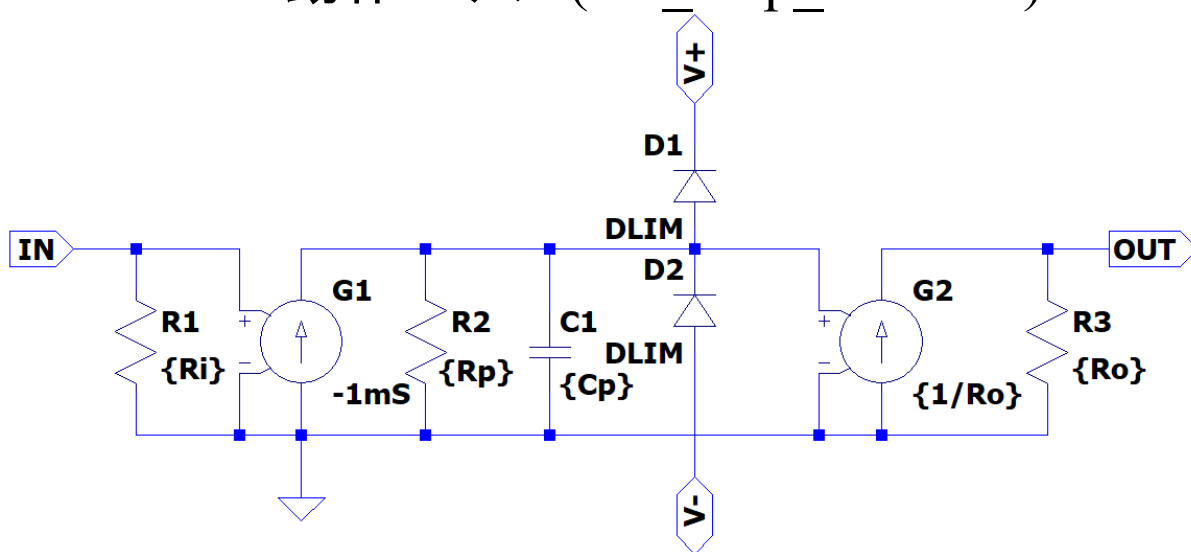


増幅器モデル(次  
ページ参照)

# 振幅が飽和する増幅器モデル

- 実際の増幅器では、出力電圧の振幅に限界がある
- 発振回路のシミュレーションでは、出力電圧の振幅を制限した動作モデルかトランジスタ回路が必要

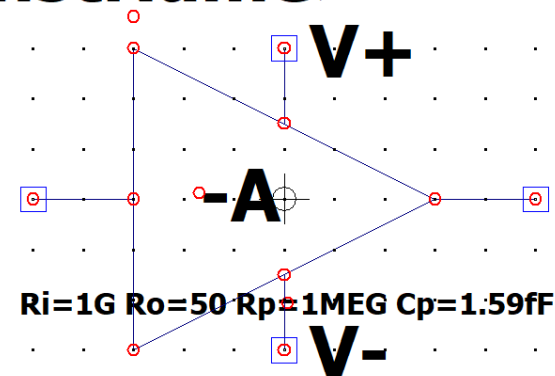
動作モデル(inv\_amp\_limit.asc)



.model DLIM D(IS=2E-14 N=0.1 XTI=0 EG=0.1)

シンボル(inv\_amp\_limit.asy)

<InstName>



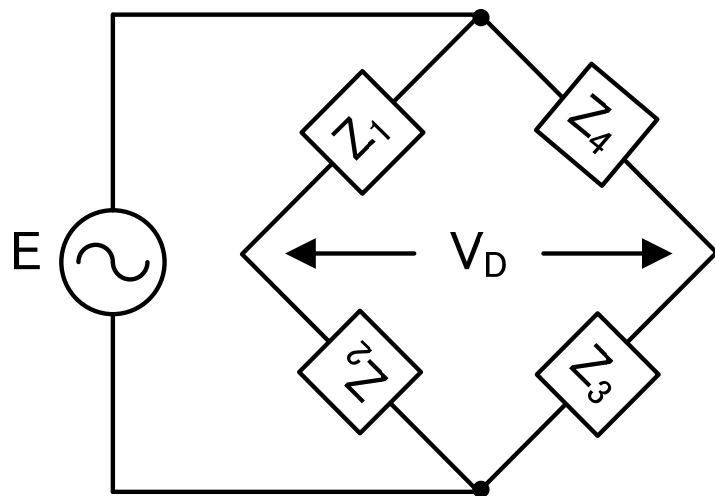
# (重要) TRAN解析の初期値設定

- 発振の開始条件
  - 発振回路は、入力信号がないため、発振を開始するためのトリガを必要とする(直流バイアスを加えただけの状態も回路方程式の解の一つである)
  - 現実の回路では、電源の投入による過渡応答や雑音などがトリガとなって、発振振幅が時間とともに大きくなっていく
- シミュレーションで発振を開始する方法
  - 過渡応答解析では、雑音がないため(AC解析では雑音を計算できる)、意図的にトリガーを加えないと発振しない
  - トリガーの代用として、初期値を設定し、バイアス電圧やバイアス電圧から外れた値にすることにより、発振を開始させる
  - 初期値を与える場所と値によって、定常状態への到達時間が異なるため、シミュレーション終了時間を十分に長く設定することにより、定常状態になるまで発振波形を確認する必要がある

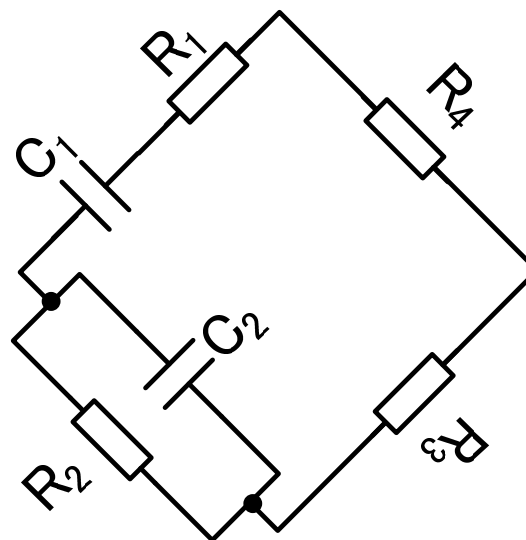
周波数可変の低周波発振器

## 7.3 ウィーンブリッジ発振回路

# ウィーンブリッジの平衡条件



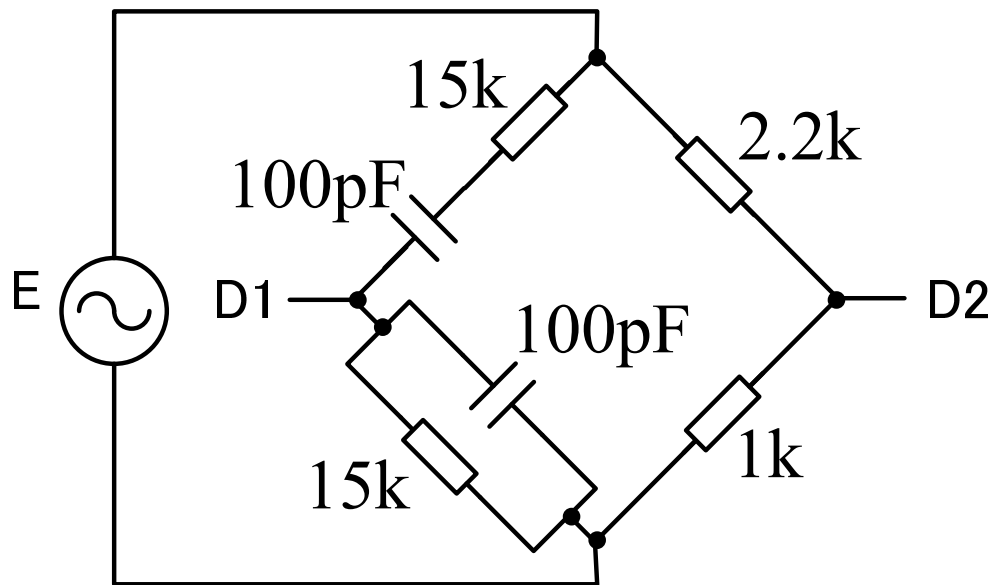
$$V_D = 0 \text{ (平衡条件)}$$
$$Z_1 Z_3 = Z_2 Z_4$$



$$\left( R_1 + \frac{1}{j\omega C_1} \right) R_3 = \frac{1}{\frac{1}{R_2} + j\omega C_2} R_4$$
$$\therefore \omega = \frac{1}{\sqrt{C_1 C_2 R_1 R_2}}$$

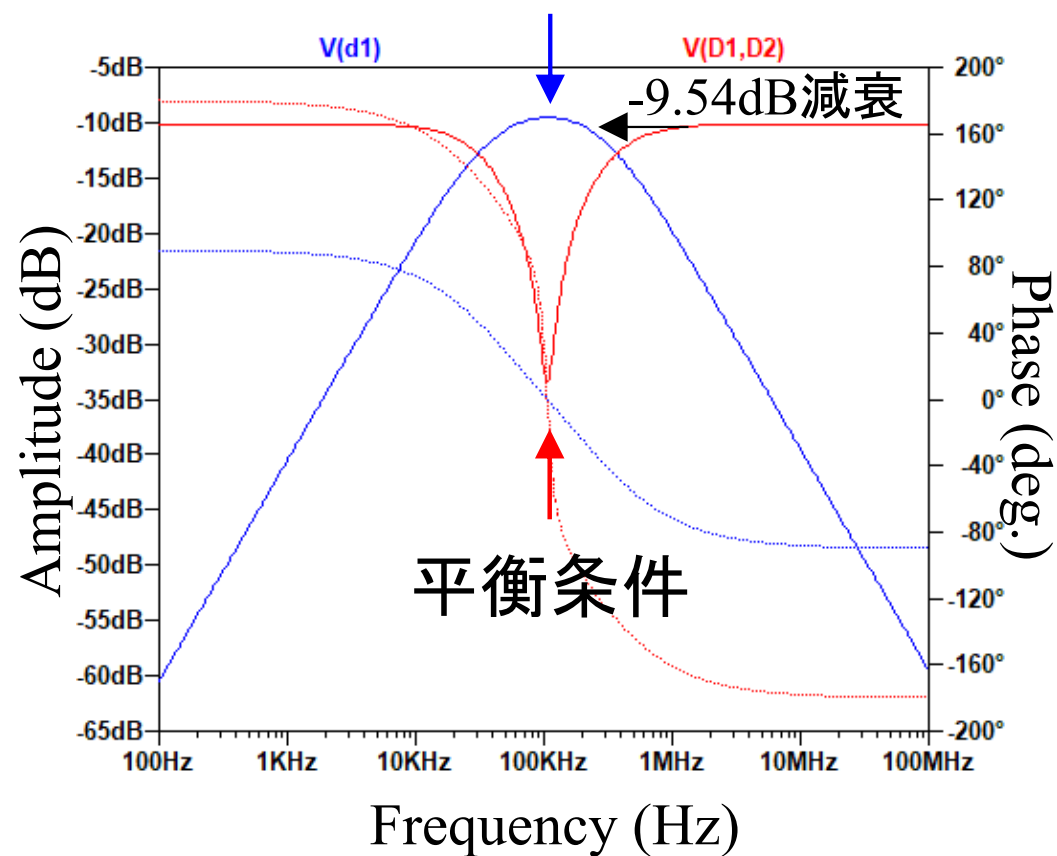


# ウィーンブリッジの周波数特性



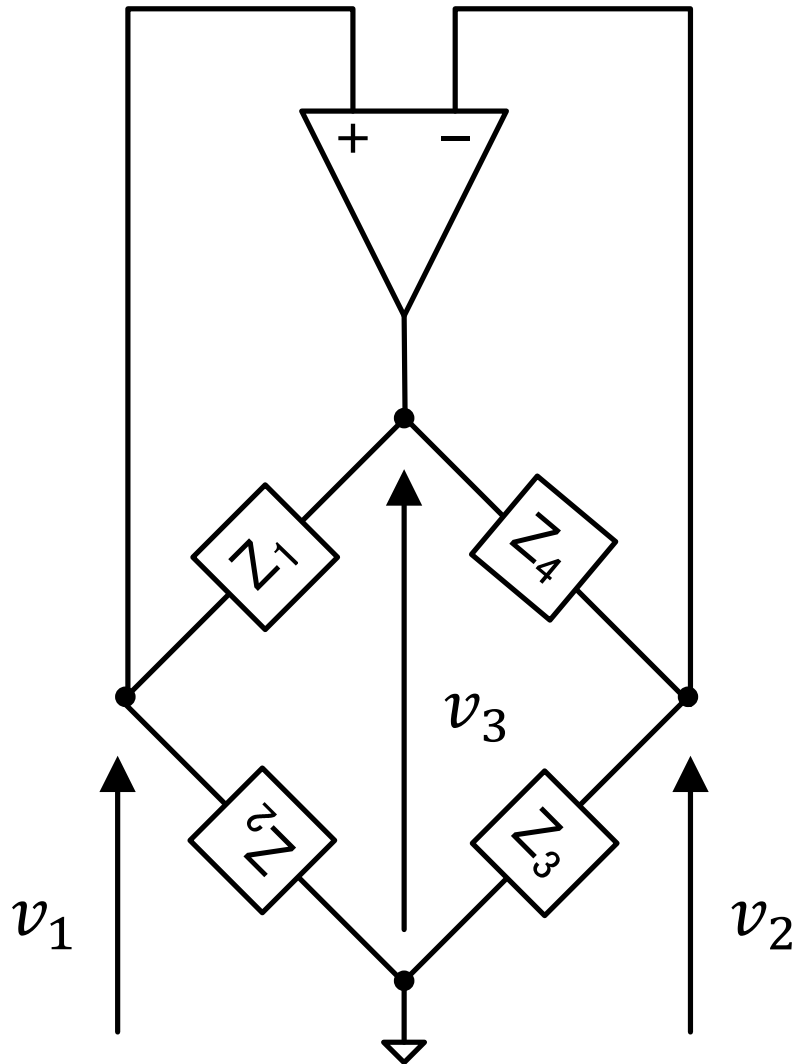
平衡条件  
 $f = 106.1\text{kHz}$

V(D1)の最大値



出力D1のBPF(Band pass filter)特性

# OPAによる自己励振



$$\begin{cases} v_1 = \frac{Z_2}{Z_1 + Z_2} v_3 \\ v_2 = \frac{Z_3}{Z_3 + Z_4} v_3 \end{cases}$$

$v_1 = v_2$  (仮想ショート)が成り立つとき

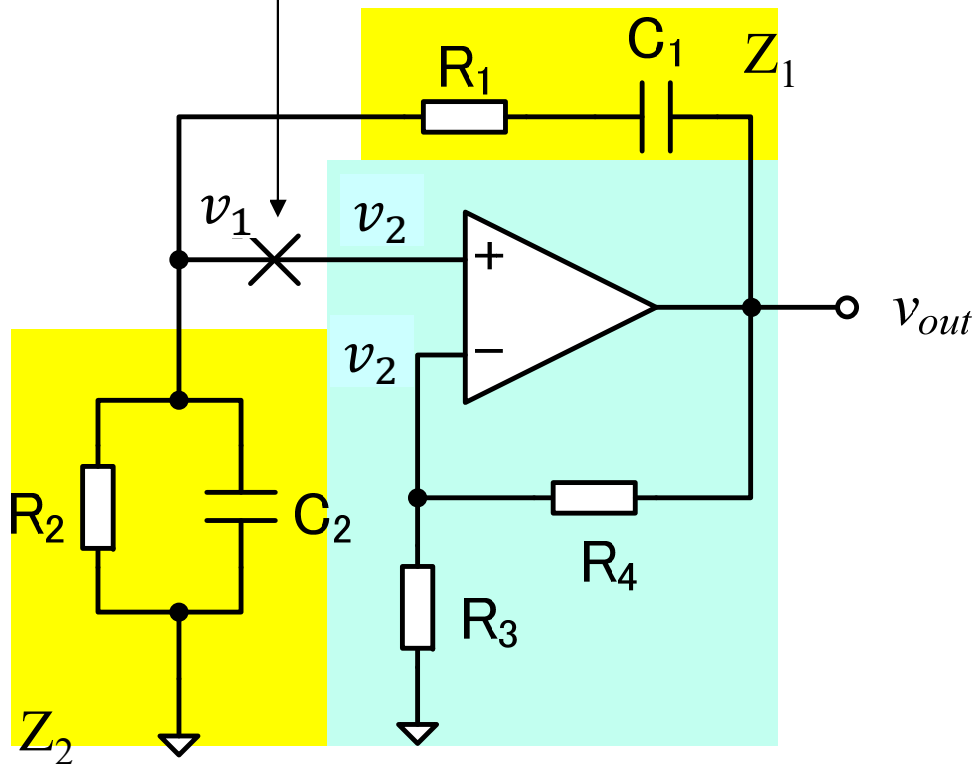
$$Z_2(Z_3 + Z_4) = Z_3(Z_1 + Z_2)$$

$$Z_1 Z_3 = Z_2 Z_4$$

仮想ショート(バーチャルショート)が成り立つとき、平衡条件も成り立つ(→平衡条件が回路方程式の解となる)。

# ウィーンブリッジ発振回路 (Wien bridge oscillator)

一旦、切り離してループ利得を計算する



利得  $A = 1 + R_4/R_3$   
の増幅回路

$$\begin{cases} v_{out} = Av_2 = \left(1 + \frac{R_4}{R_3}\right)v_2 \\ v_1 = \frac{Z_2}{Z_1 + Z_2}v_{out} \text{ (BPF特性)} \end{cases}$$

ループ利得

$$G_{loop} = \frac{v_1}{v_2} = \frac{v_1}{v_{out}} \frac{v_{out}}{v_2} = \frac{Z_2}{Z_1 + Z_2} A$$

$$Z_1 = \frac{1 + j\omega C_1 R_1}{j\omega C_1}$$

$$Z_2 = \frac{R_2}{1 + j\omega C_2 R_2}$$

# ウィーンブリッジ発振回路の発振条件

$$G_{loop} = \frac{Z_2}{Z_1 + Z_2} A = \frac{A}{\left(1 + \frac{R_1}{R_2} + \frac{C_2}{C_1}\right) + j\left(\omega C_2 R_1 - \frac{1}{\omega C_1 R_2}\right)}$$

$$\text{Im}[G_{loop}] = \frac{-\left(\omega C_2 R_1 - \frac{1}{\omega C_1 R_2}\right)A}{\left(1 + \frac{R_1}{R_2} + \frac{C_2}{C_1}\right)^2 + \left(\omega C_2 R_1 - \frac{1}{\omega C_1 R_2}\right)^2}$$

$$\text{Re}[G_{loop}] = \frac{\left(1 + \frac{R_1}{R_2} + \frac{C_2}{C_1}\right)A}{\left(1 + \frac{R_1}{R_2} + \frac{C_2}{C_1}\right)^2 + \left(\omega C_2 R_1 - \frac{1}{\omega C_1 R_2}\right)^2}$$

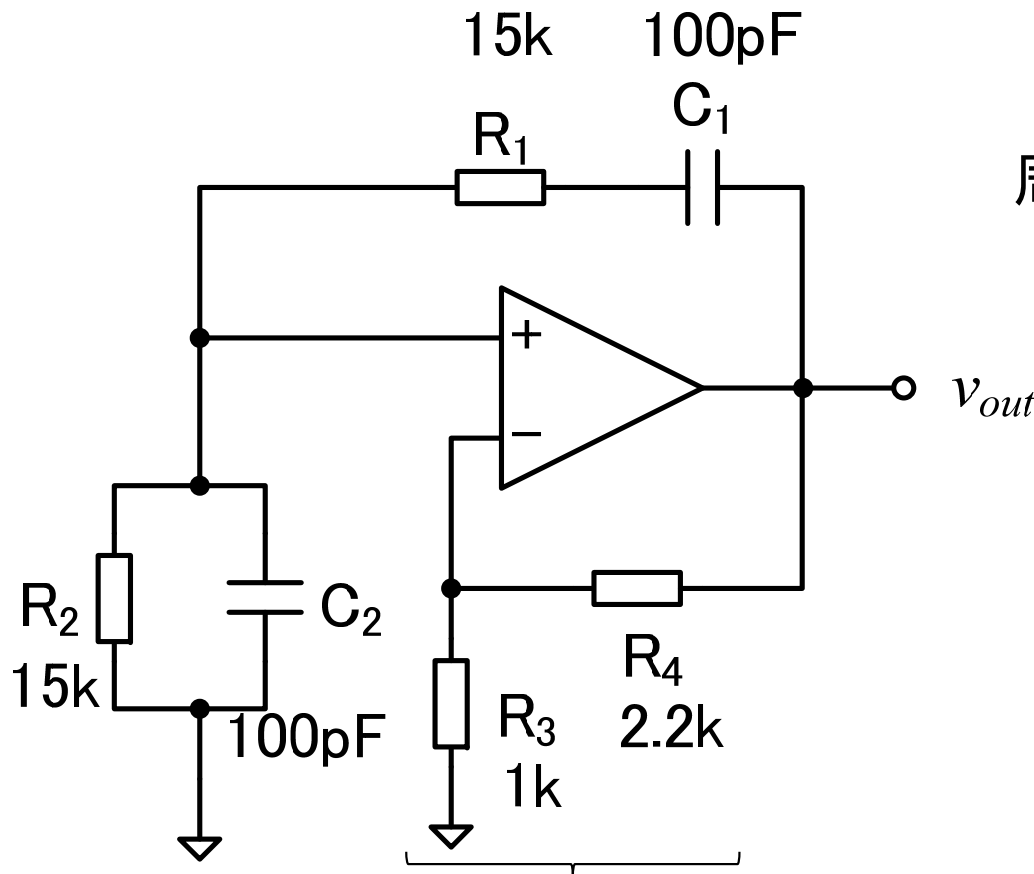
ウィーンブリッ  
ジの平衡条件  
と合致

位相条件  $\text{Im}[G_{loop}] = 0 \Rightarrow \omega_{osc} = \frac{1}{\sqrt{C_1 C_2 R_1 R_2}}$   
(周波数条件)

振幅条件  $\text{Re}[G_{loop}] \geq 1 \Rightarrow A \geq 1 + \frac{R_1}{R_2} + \frac{C_2}{C_1}$   
(電力条件)

$C_1 = C_2, R_1 = R_2$  のとき、 $A \geq 3$

# ウィーンブリッジ発振回路の設計例



周波数条件より

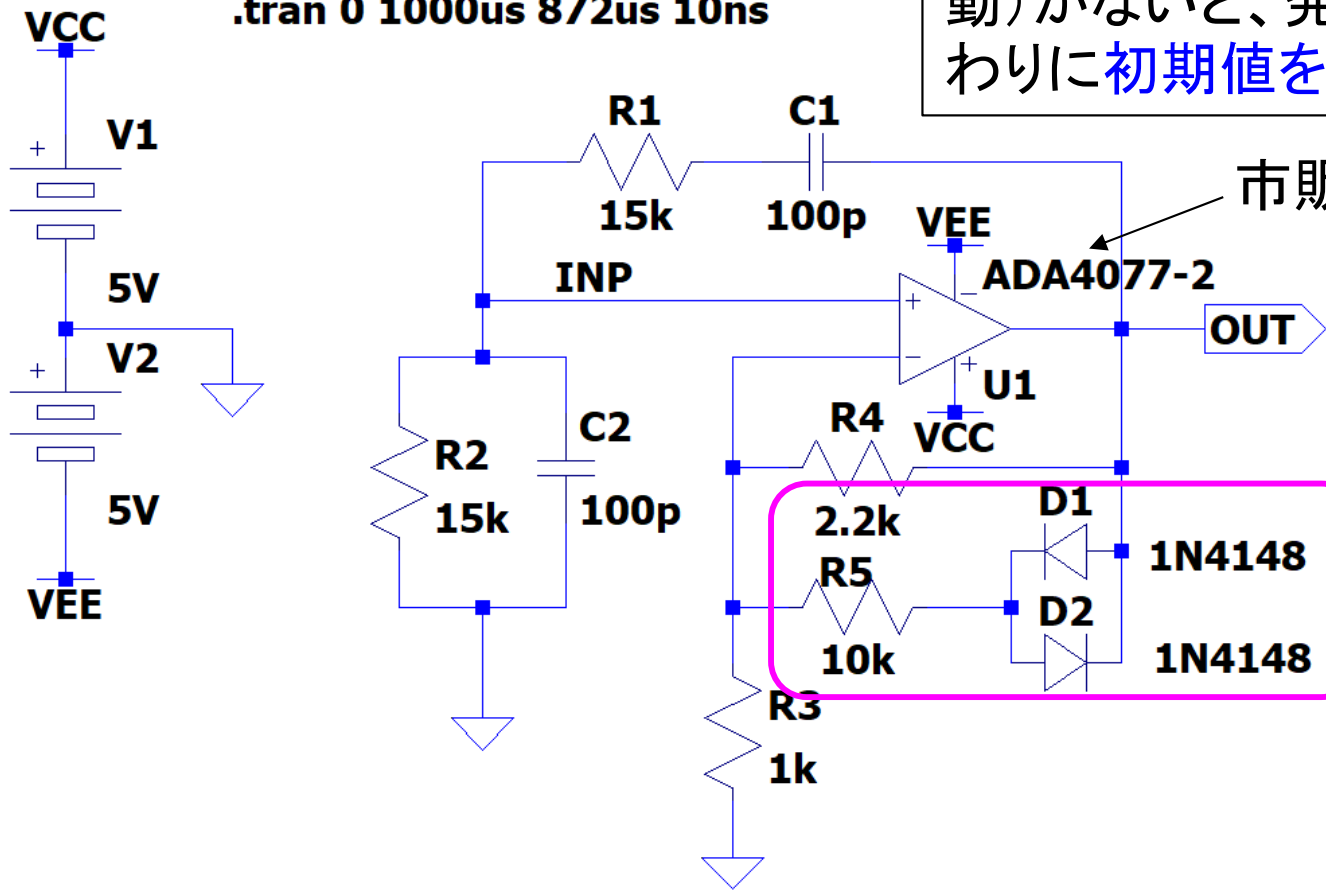
$$\begin{aligned}
 f &= \frac{1}{2\pi\sqrt{C_1 C_2 R_1 R_2}} \\
 &= \frac{1}{2\pi\sqrt{100\text{pF} \cdot 100\text{pF} \cdot 15\text{k}\Omega \cdot 15\text{k}\Omega}} \\
 &= 106.1 \text{ kHz}
 \end{aligned}$$

振幅条件より  $A = 1 + \frac{R_4}{R_3} = 3.2 \geq 1 + \frac{R_1}{R_2} + \frac{C_2}{C_1} = 3$

# ウィーンブリッジ発振回路のシミュレーション

```
.ic V(INP)=10mV  
.tran 0 1000us 872us 10ns
```

最初にトリガーとなる外乱(雑音や温度変動)がないと、発振を開始しないため、代わりに初期値を設定する。



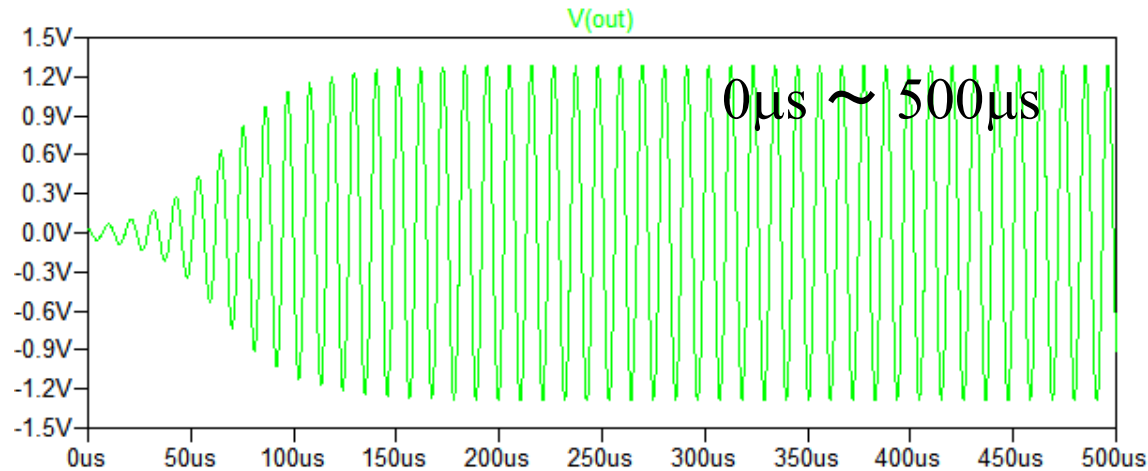
市販の演算増幅器



振幅制限回路を追加。振幅制限は無くても動作するが、振幅が大きくなりすぎて波形が歪むのを防ぐ。

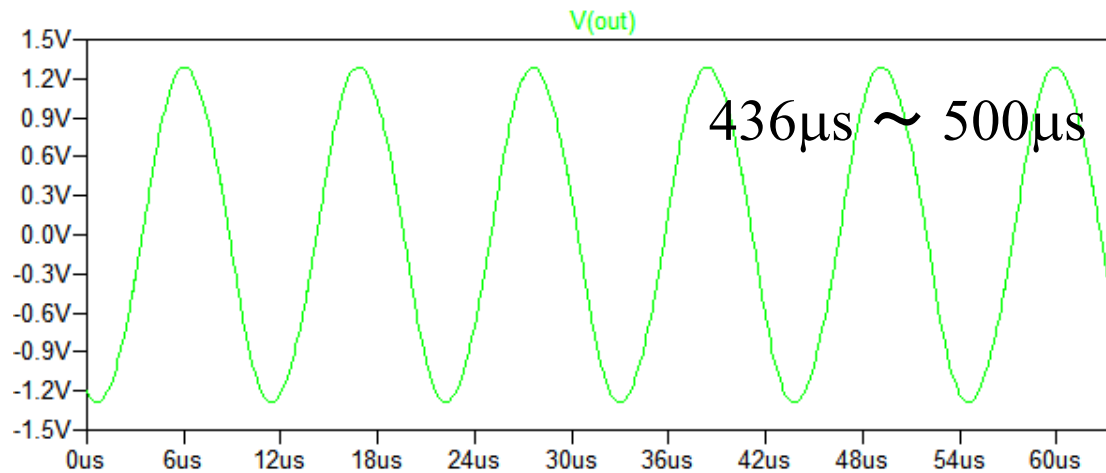
# シミュレーション結果

出力電圧



0秒から波形を表示すると、小さな振動から振幅が成長していく過渡現象が観測される。

出力電圧



発振波形が安定して、定常状態に入った部分。発振周波数は、定常状態に入った後の波形を用いて調べること。

時間

# 課題7. 3

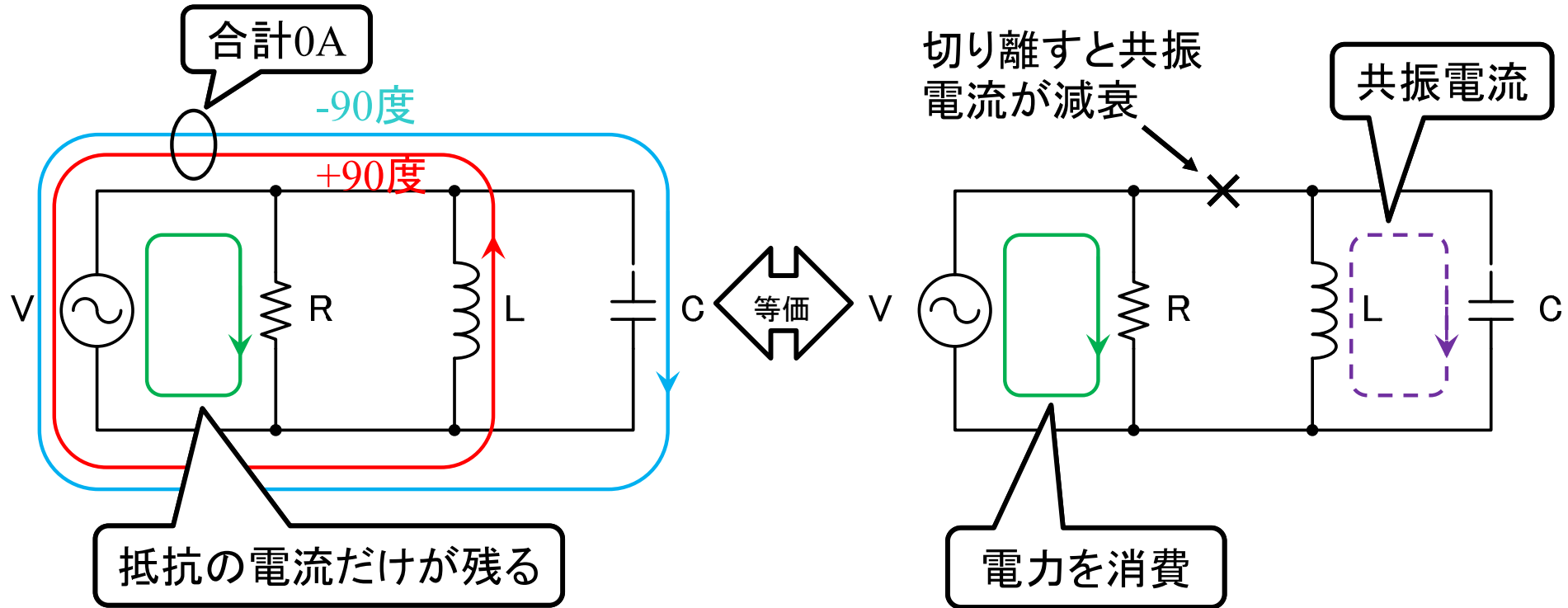
1. 前スライドの回路のTRAN解析を行い、0s～1msと872 $\mu$ s～1msの発振波形を貼り付けよ。
2. 872 $\mu$ s～1msの発振波形の周波数を求めよ。
  - 発振周波数は、高速フーリエ変換(FFT)すると簡単に求めることができる。
3. R5を100k $\Omega$ に変更したとき、発振波形がどのように変化するか。また、その原因として、どのようなことが考えられるか。



無線通信に使われる高周波発振器

## 7.4 LC発振回路

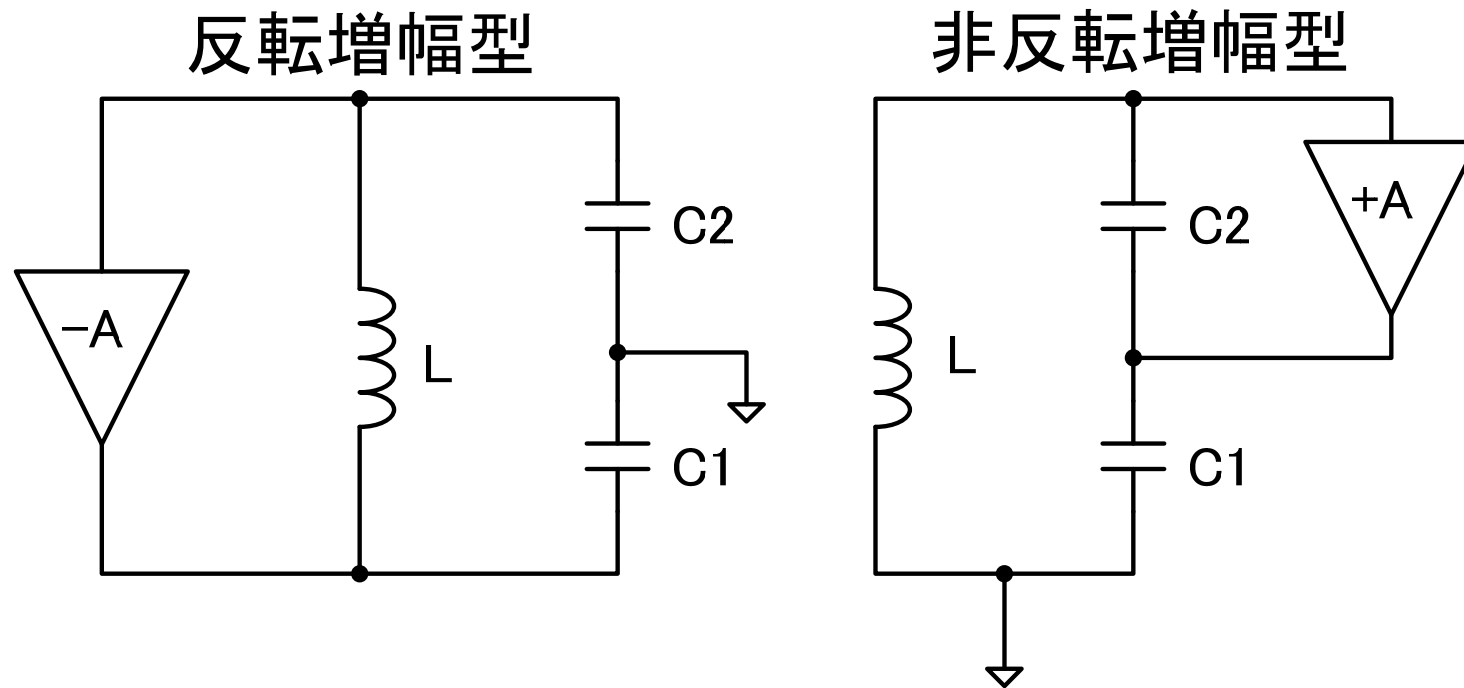
# LC並列共振



Lの電流とCの電流は、位相が180度ずれている。共振周波数では振幅が等しくなり打ち消しあうため、交流電圧源とLC共振回路は独立している。本来は、交流電源がなくても電場エネルギーと磁場エネルギーを交互に交換しているため、共振電流は流れ続ける。しかし、**実際のLやCには電力損失があり、電源がないと共振電流は短時間で減衰してしまう。**

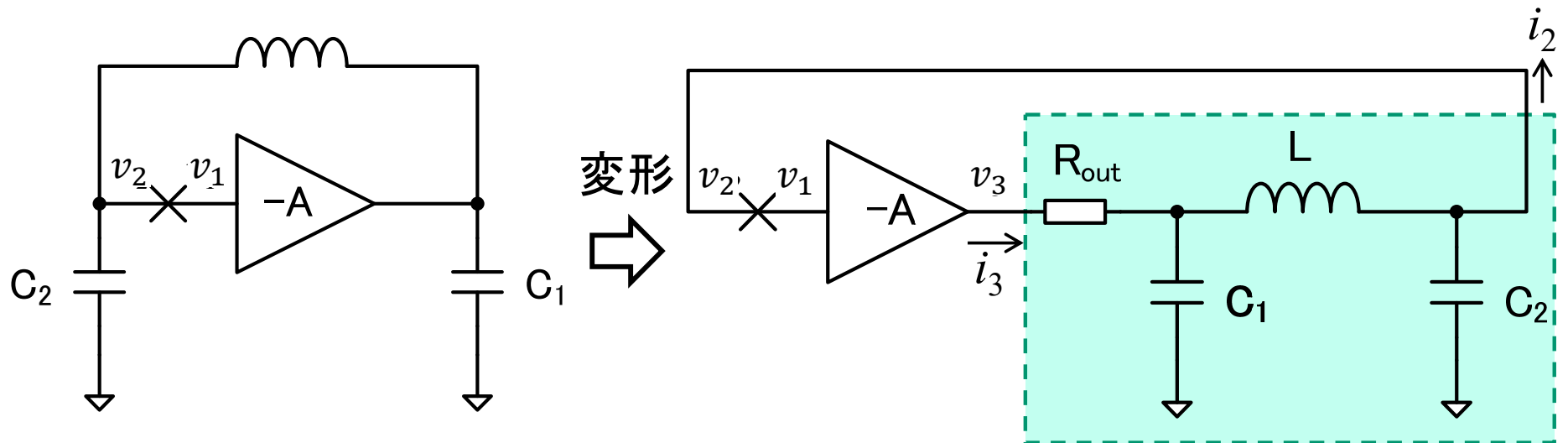
# コルピッツ発振回路(Colpitts oscillator)

LC発振回路は、減衰した共振電流を増幅回路で補償してLC回路の共振を持続させる。増幅回路の入力、出力、GNDの3端子が必要なので、Cを2個に分割して3端子にする。



(参考) Lを2個に分割した発振回路をハートレー発振回路(Hartley oscillator)と呼ぶ。

# コルピッツ発振回路の発振条件 (反転増幅) 1



$i_2 = 0$  (増幅器の入カインピーダンス  $= \infty$ )

$$\begin{bmatrix} v_3 \\ i_3 \end{bmatrix} = \begin{bmatrix} A_{res} & B_{res} \\ C_{res} & D_{res} \end{bmatrix} \begin{bmatrix} v_2 \\ i_2 \end{bmatrix}$$

$$\begin{cases} v_3 = A_{res} v_2 \\ v_3 = -A v_1 \end{cases} \Rightarrow G_{loop} = \frac{v_2}{v_1} = -\frac{A}{A_{res}}$$

(参考)フィードバックループに抵抗成分がないと共振条件下のループ利得が求められないため、ここでは増幅器の出力抵抗を $R_{out}$ とおいた。

# コルピッツ発振回路の発振条件 (反転増幅) 2

共振回路のF行列からループ利得を求めると、

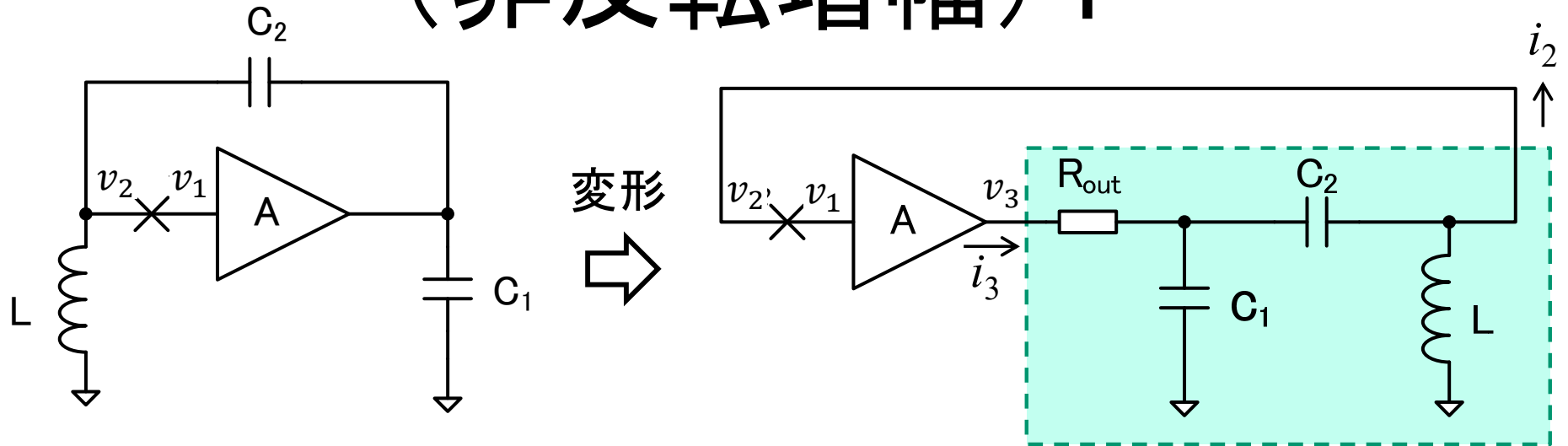
$$\begin{aligned} \begin{bmatrix} A_{res} & B_{res} \\ C_{res} & D_{res} \end{bmatrix} &= \begin{bmatrix} 1 & R_{out} \\ 0 & 1 \end{bmatrix} \begin{bmatrix} 1 & 0 \\ j\omega C_1 & 1 \end{bmatrix} \begin{bmatrix} 1 & j\omega L \\ 0 & 1 \end{bmatrix} \begin{bmatrix} 1 & 0 \\ j\omega C_2 & 1 \end{bmatrix} \\ &= \begin{bmatrix} (1 - \omega^2 LC_2) - j\omega R_{out}(C_1 + C_2 - \omega^2 LC_1 C_2) & R_{out}(1 - \omega^2 LC_1) + j\omega L \\ j\omega(C_1 + C_2 - \omega^2 LC_1 C_2) & 1 - \omega^2 LC_1 \end{bmatrix} \end{aligned}$$

$$G_{loop} = -\frac{A}{A_{res}} = \frac{-A}{(1 - \omega^2 LC_2) + j\omega C_1 C_2 R_{out} \left( \frac{1}{C_1} + \frac{1}{C_2} - \omega^2 L \right)}$$

$$\text{Im}[G_{loop}] = 0 \quad \text{より} \quad \omega_{osc} = \sqrt{\frac{1}{L} \left( \frac{1}{C_1} + \frac{1}{C_2} \right)}$$

$$\text{Re}[G_{loop}] \geq 1 \quad \text{より} \quad \frac{-A}{1 - \omega_{osc}^2 LC_2} \geq 1 \quad \Rightarrow \quad A \geq \frac{C_2}{C_1}$$

# コルピッツ発振回路の発振条件 (非反転増幅) 1



$i_2 = 0$  (増幅器の入インピーダンス =  $\infty$ )

$$\begin{bmatrix} v_3 \\ i_3 \end{bmatrix} = \begin{bmatrix} A_{res} & B_{res} \\ C_{res} & D_{res} \end{bmatrix} \begin{bmatrix} v_2 \\ i_2 \end{bmatrix}$$

$$\begin{cases} v_3 = A_{res} v_2 \\ v_3 = A v_1 \end{cases} \Rightarrow G_{loop} = \frac{v_2}{v_1} = \frac{A}{A_{res}}$$

# コルピッツ発振回路の発振条件 (非反転増幅) 2

共振回路のF行列からループ利得を求めると、

$$\begin{bmatrix} A_{res} & B_{res} \\ C_{res} & D_{res} \end{bmatrix} = \begin{bmatrix} 1 & R_{out} \\ 0 & 1 \end{bmatrix} \begin{bmatrix} 1 & 0 \\ j\omega C_1 & 1 \end{bmatrix} \begin{bmatrix} 1 & \frac{1}{j\omega C_2} \\ 0 & 1 \end{bmatrix} \begin{bmatrix} 1 & 0 \\ \frac{1}{j\omega L} & 1 \end{bmatrix}$$

$$= \begin{bmatrix} \left(1 - \frac{1}{\omega^2 LC_2}\right) - j \frac{R_{out}}{\omega LC_2} (C_1 + C_2 - \omega^2 LC_1 C_2) & \left(1 + \frac{C_1}{C_2}\right) R_{out} + \frac{1}{j\omega C_2} \\ -j \frac{1}{\omega LC_2} (C_1 + C_2 - \omega^2 LC_1 C_2) & 1 + \frac{C_1}{C_2} \end{bmatrix}$$

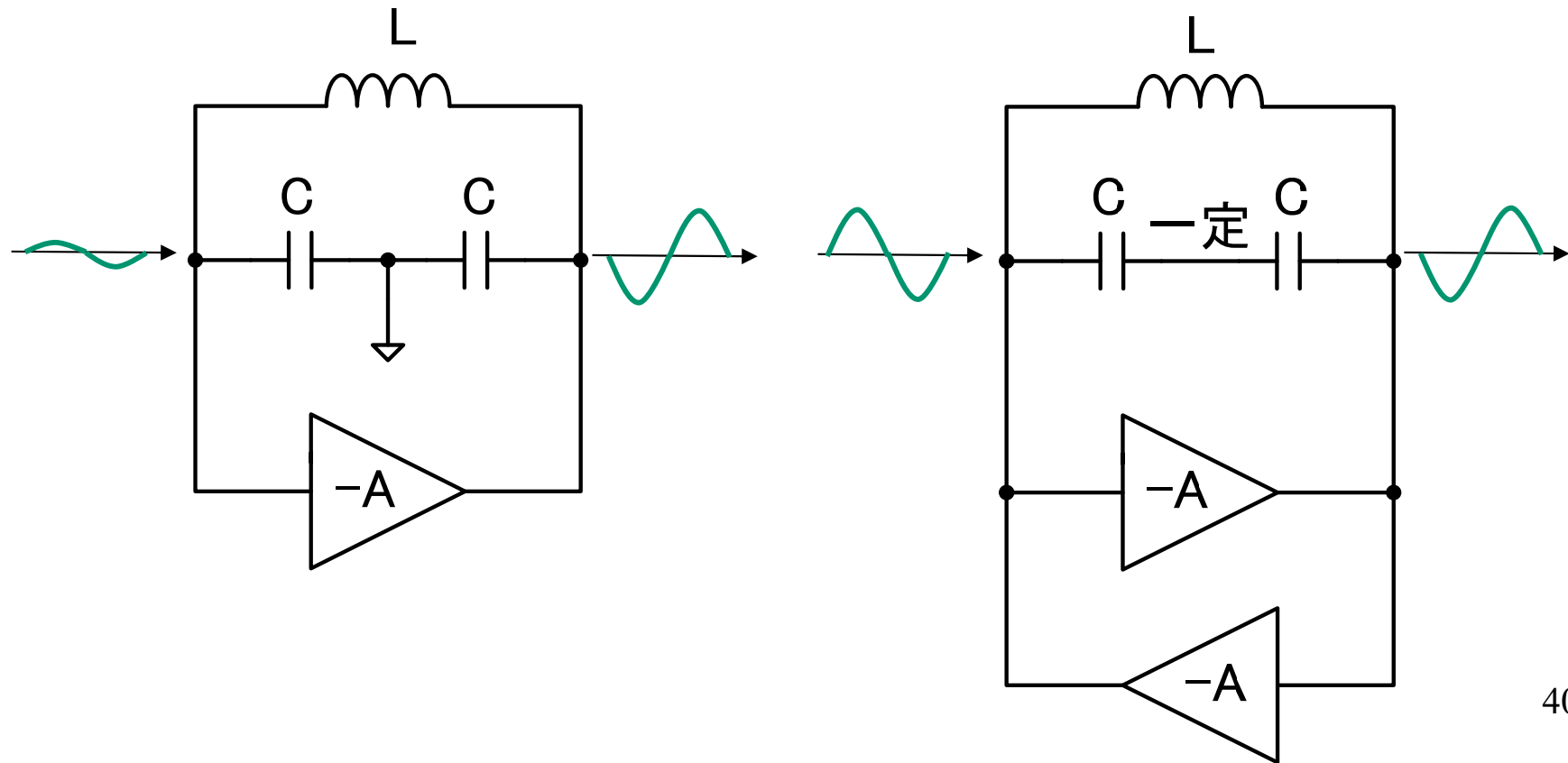
$$G_{loop} = \frac{v_2}{v_1} = \frac{A}{\left(1 - \frac{1}{\omega^2 LC_2}\right) - j \frac{R_{out}}{\omega LC_2} (C_1 + C_2 - \omega^2 LC_1 C_2)}$$

$$\text{Im}[G_{loop}] = 0 \text{ より } \omega_{osc} = \sqrt{\frac{1}{L} \left( \frac{1}{C_1} + \frac{1}{C_2} \right)}$$

$$\text{Re}[G_{loop}] \geq 1 \text{ より } \frac{A}{1 - \frac{1}{\omega_{osc}^2 LC_2}} \geq 1 \Rightarrow A \geq \frac{C_2}{C_1 + C_2}$$

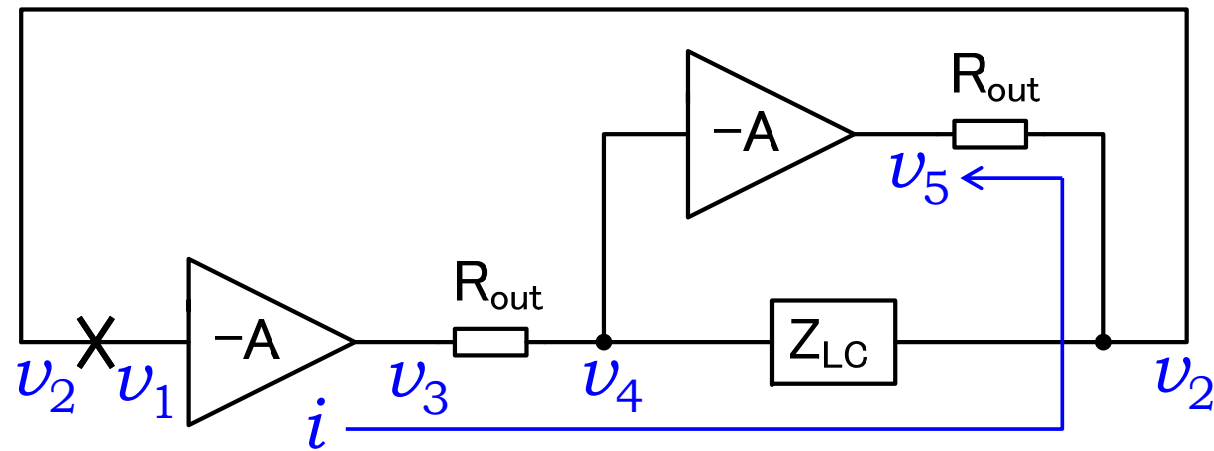
# 差動型コルピッツ発振回路

増幅回路の入力と出力の振幅は大きく異なるので、GNDに対してC1とC2の電圧が非対称な振動となる。増幅回路を2個使用して、両側の振幅を揃えると、 $C1 = C2$  のとき、C1とC2の接続点電位は常に一定となり、GNDに接続する必要がなくなる(Cは1個でもよい)。





# 差動型コルピッツ発振回路の発振条件1



$$Z_{LC} = \frac{1}{\frac{1}{j\omega L} + j\omega C} = \frac{j\omega L}{1 - \omega^2 LC}$$

$$\begin{cases} v_4 = v_3 - R_{out}i = -Av_1 - R_{out}i \\ v_2 = v_5 + R_{out}i = -Av_4 + R_{out}i \\ v_4 - v_2 = Z_{LC}i \end{cases} \Rightarrow G_{loop} = \frac{v_2}{v_1} = \frac{A(A - \frac{R_{out}}{Z_{LC}})}{1 + (2 + A)\frac{R_{out}}{Z_{LC}}}$$

# 差動型コルピッツ発振回路の発振条件2

$$Z_{LC} = \frac{1}{\frac{1}{j\omega L} + j\omega C} = \frac{j\omega L}{1 - \omega^2 LC}$$

$$\frac{R_{out}}{Z_{LC}} = -j\omega \frac{1 - \omega^2 LC}{\omega^2 \frac{L}{R_{out}}}$$

$$\text{Im}[G_{loop}] = 0 \text{ より } \frac{R_{out}}{Z_{LC}} = 0 \Rightarrow \omega_{osc} = \frac{1}{\sqrt{LC}}$$

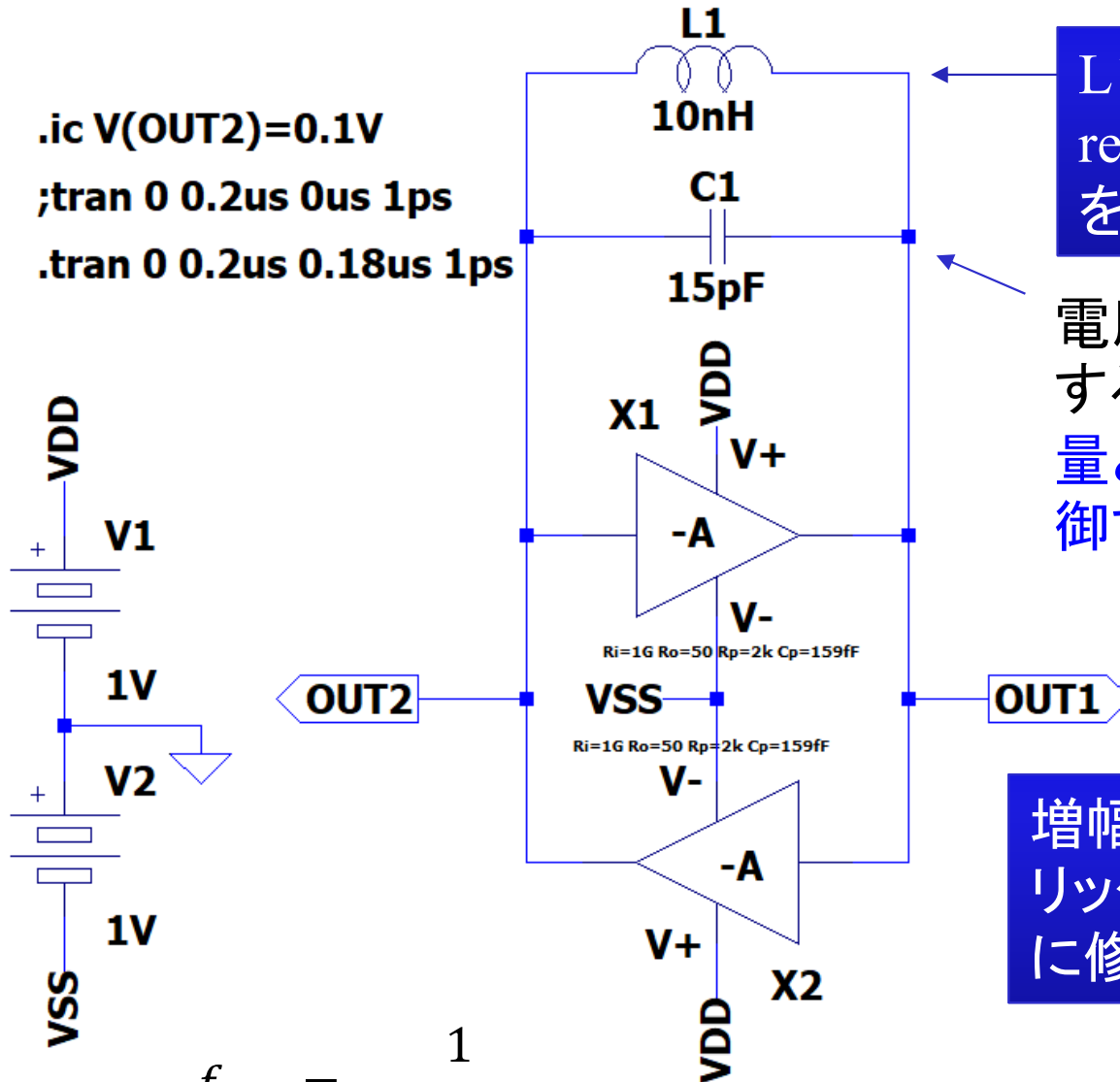
$$\text{Re}[G_{loop}] \geq 1 \text{ より } A^2 \geq 1 \Rightarrow |A| \geq 1 \text{ (共振回路に損失がない場合)}$$

# 課題7.4

1. 次スライドのLC発振回路の発振周波数を解析式により求めよ。
2.  $0 \sim 0.2 \mu\text{s}$  および  $0.18 \mu\text{s} \sim 0.2 \mu\text{s}$  の時間範囲でシミュレーションを行い、それぞれの時間範囲に対するOUT1とOUT2の波形を提出せよ。
  - 課題7.2の出力振幅に制限のある増幅器モデルを使用すること。
3. 時間  $0.18 \mu\text{s} \sim 0.2 \mu\text{s}$  のシミュレーションで得られた出力波形の発振周波数(Hz)と振幅のRMS(V)を求めよ。
4. 解析式と回路シミュレーションで求めた発振周波数の相対誤差を求めよ。

# 差動型コルピッツ発振回路の例1

```
.ic V(OUT2)=0.1V
;tran 0 0.2us 0us 1ps
.tran 0 0.2us 0.18us 1ps
```



L1を右クリックして、Series resistance = 0.5 (直列抵抗) を設定する。

電圧制御発振器として使用する場合は、C1は可変容量として、発振周波数を制御する。(ここでは固定)

増幅器のパラメータを右クリックして、Rp=2k Cp=159fF に修正する。

$$f_{osc} = \frac{1}{2\pi\sqrt{L1C1}}$$

基準信号発振器

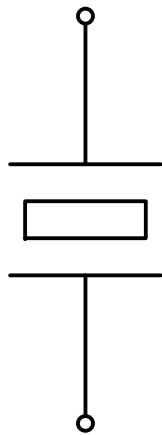
## 7.5 水晶発振回路

# 水晶振動子(Quartz crystal unit)

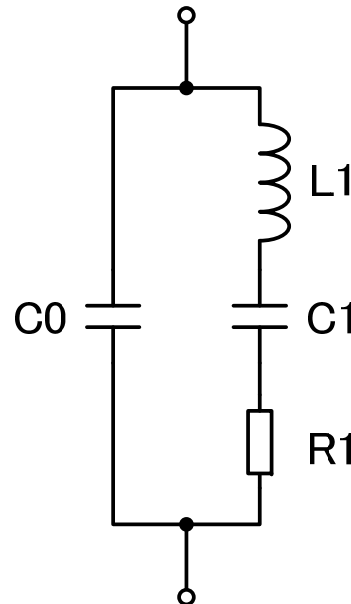
高精度で安定性の良い基準信号周波数を発生させることができる。水晶の圧電効果により特定周波数で共振が起こることを利用。他の応用としてはジャイロセンサなどがある。



外観



Symbol



等価回路

水晶振動子は2つの共振周波数を持つ

直列共振  $f_s = \frac{1}{2\pi\sqrt{L1C1}}$

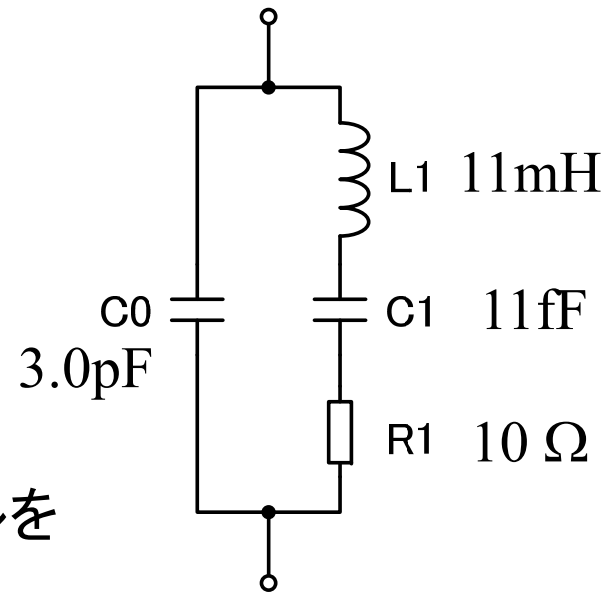
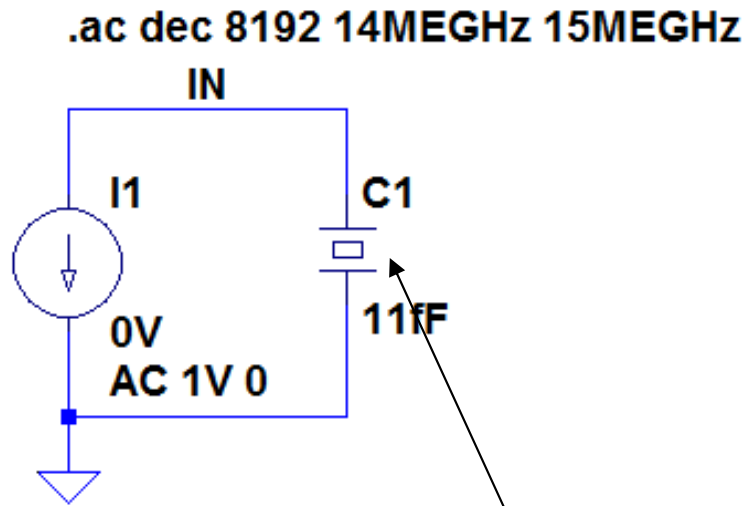
並列共振  $f_p = \frac{1}{2\pi\sqrt{L1\frac{C0C1}{C0+C1}}}$

水晶振動子のQはLC回路に比べて非常に大きい(L1/R1が大きい)

$$Q = \frac{2\pi L1}{R1} f_s$$

# 水晶振動子の等価回路パラメータ

14MHz 水晶振動子のパラメータ例



Component - [Misc] - xtal のシンボルを使用 → 右クリックで下記の値を入力

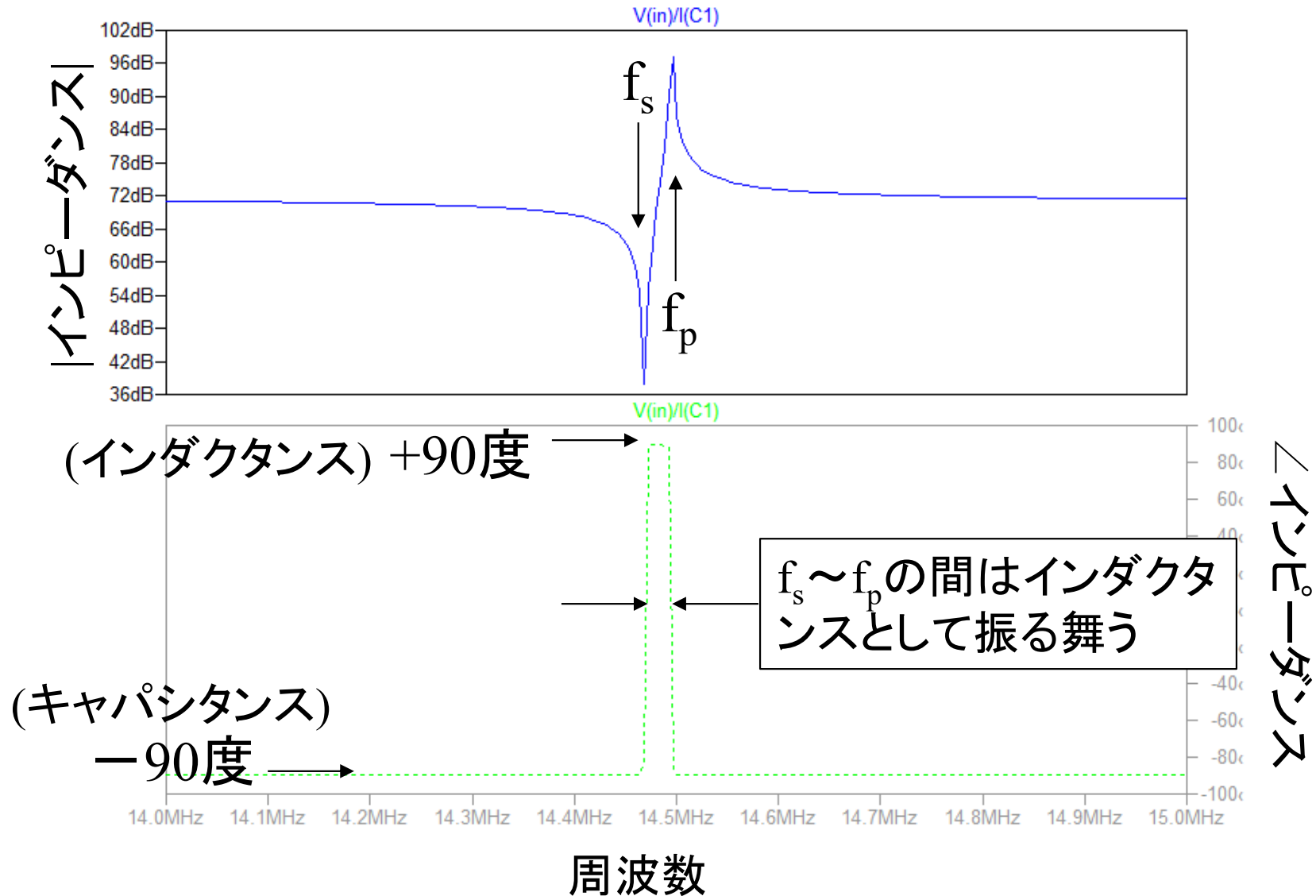
Capacitance = 11fF (C1に相当)

Equiv. Series Resistance = 10ohm (R1に相当)

Equiv. Series Inductance = 11mH (L1に相当)

Equiv. Parallel Capacitance = 3.0pF (C0に相当)

# 水晶振動子の周波数特性





# 振動子の種類

分類	誤差	特長
MEMS振動子(シリコン振動子)	$10^{-3}$	数GHz, LSI内に集積化
セラミック振動子	$10^{-3}$	200kHz~数100MHz, 圧電セラミック使用, 安価
水晶振動子 水晶発振器(発振回路込みのモジュール)	$10^{-5} \sim 10^{-6}$	数10kHz~数100MHz, 非常に高精度な周波数. 水晶を使用しており高価
SPXO (Simple packaged)	$10^{-5}$	
TCXO (Temperature compensated)	$10^{-6}$	
OCXO (Oven controlled)	$10^{-9}$	

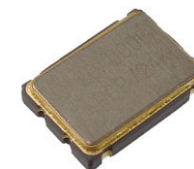
## オーディオ用

22.5792MHz (44.1kHz × 512倍)

5.644MHz (44.1kHz × 128倍)

## RTC(Real-time clock)用

32.768kHz (=  $2^{15}$  Hz)



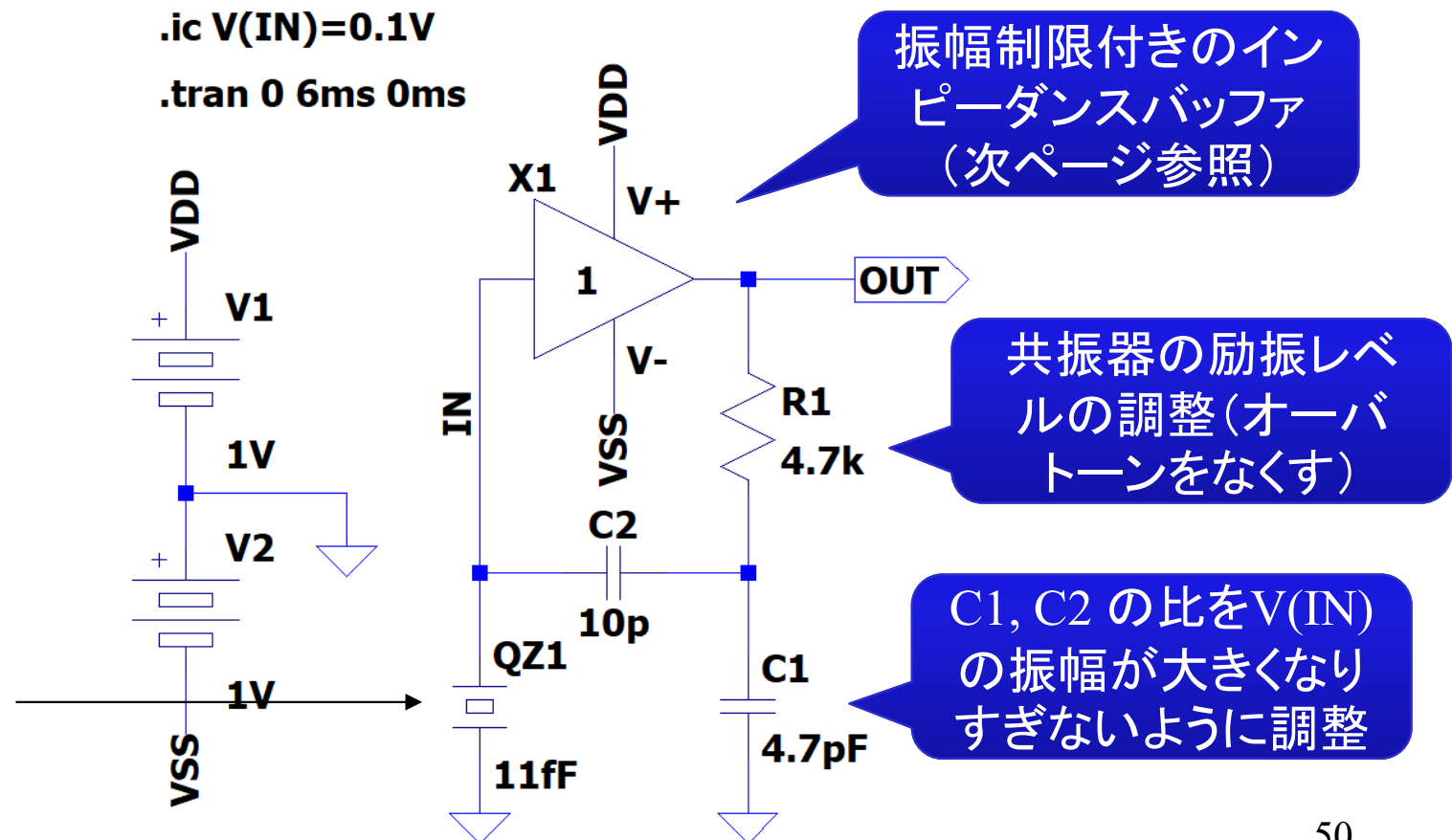
5mm  
└───┘

水晶発振器外観

# 水晶発振回路(Crystal Oscillator)

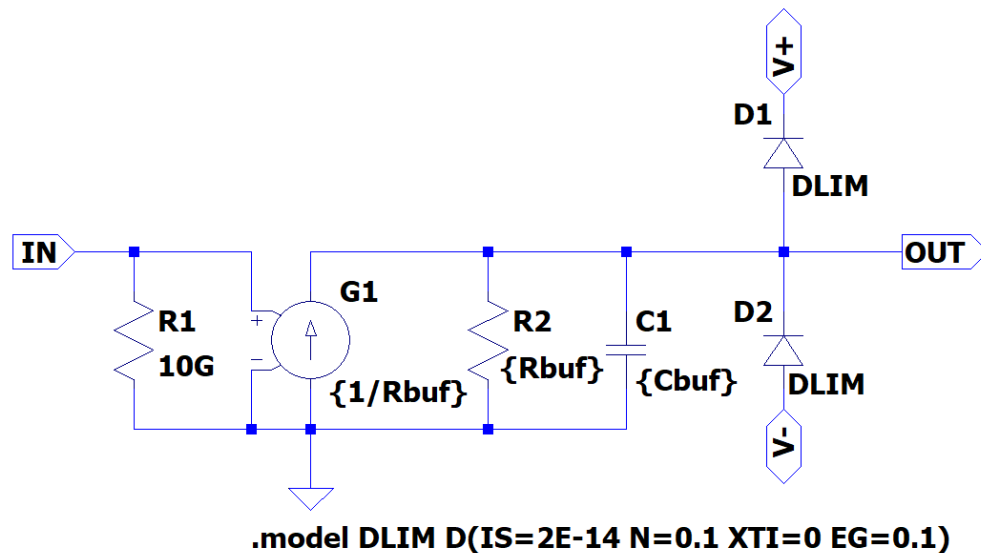
水晶振動子は狭い周波数範囲でQ値の大きなインダクタンスとして働くため、正確な周波数で発振が可能。

コルピッツ発振回路のインダクタンスの代わりに水晶振動子を使用。



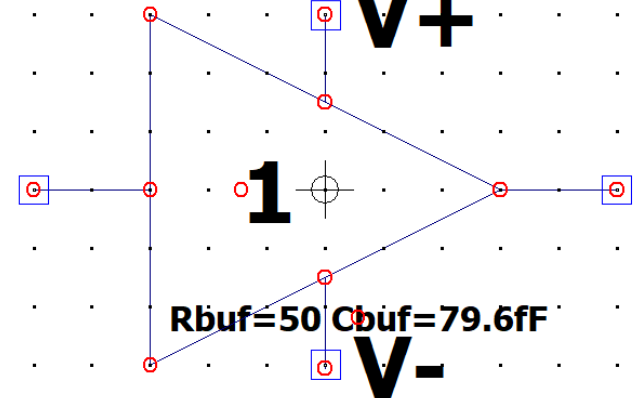
# 出力振幅制限付きバッファのモデル

動作モデル(inv\_amp\_limit.asc)



シンボル(inv\_amp\_limit.asy)

<InstName>  
 $V_+$



# 課題7.5

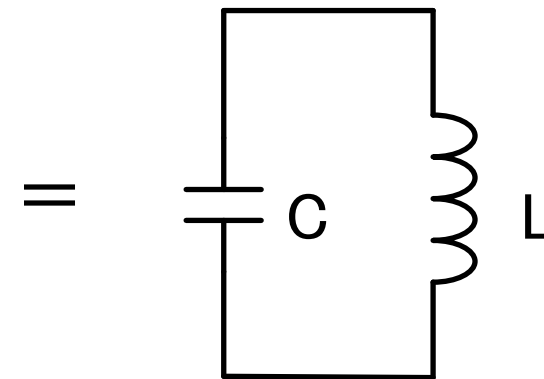
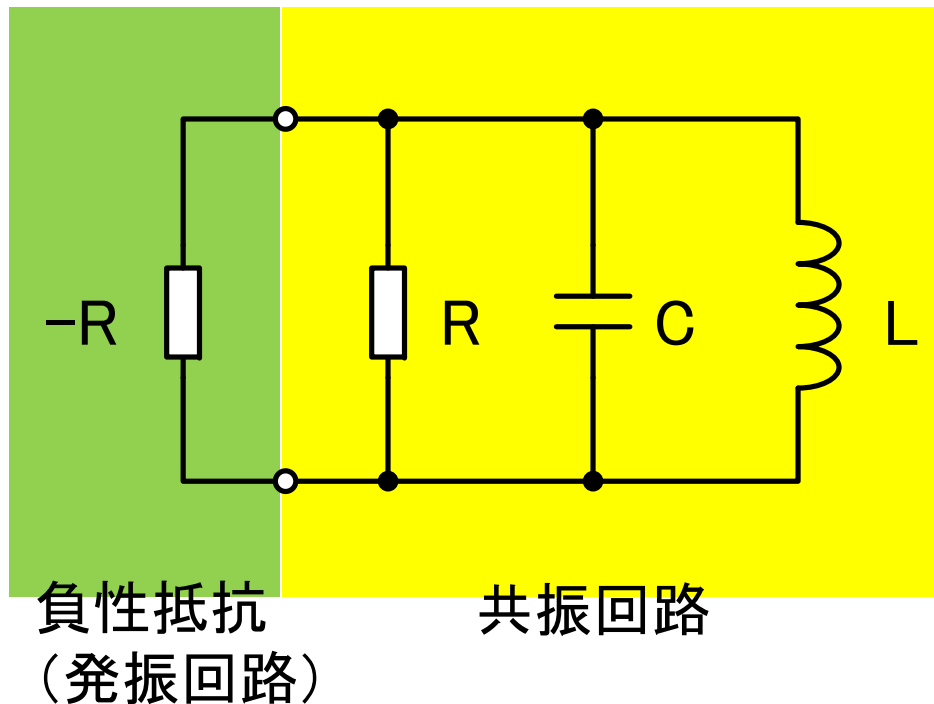
1. 前スライドの水晶発振回路について、0ms～6msおよび5.999ms～6msの時間範囲でシミュレーションを行い、INとOUTの波形をレポートに貼り付けよ
  - 増幅器のモデルとして次スライドの回路を使用すること
  - 水晶発振回路は、振幅が成長するまでに長い時間がかかる。定常状態になるまで気長に待とう
2. 5.999ms～6msのシミュレーションで得られた出力波形の発振周波数と振幅を求めよ
  - 水晶振動子は、品番毎に公称周波数が決まっているが、C1, C2, C3によっても少し変化するので、正確な周波数を出力するためには微調整が必要である

負性抵抗による発振の考え方

## 7.6 発振の安定性

# 負性抵抗による発振の考え方

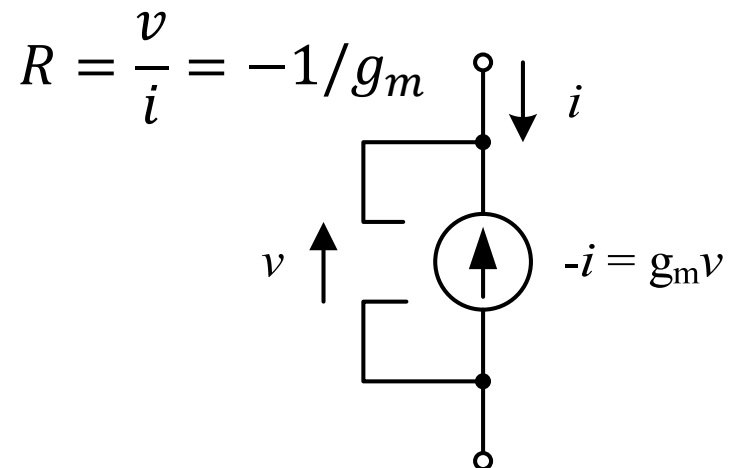
発振回路は、正帰還により振動を繰り返すと考えることもできるが、共振回路に負性抵抗を挿入し、正の抵抗を打ち消しているという考え方もできる。 $R$ は、配線抵抗やトランジスタの抵抗などを表し、電力を消費して振動を減衰させる。 $-R$ は、 $R$ で消費された電力を補うための負性抵抗を表す。



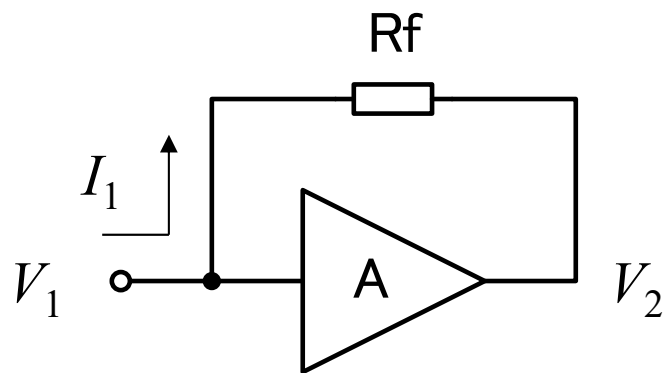
減衰のない完全な共振回路  
(振動が減衰しない)

# 負性抵抗の実現方法

1. 負の相互コンダクタンスを持つ電圧制御電流源回路
  - 正帰還をかけた増幅器を利用
2. 微分負性抵抗を持つ半導体デバイス
  - 量子力学的効果を利用(マイクロ波～テラヘルツ波)
    - Gunnダイオード(電子の有効質量が電流により変化する現象を利用)
    - 共鳴トンネルダイオード(量子力学的トンネリング確率が電圧により変化する現象を利用)
  - 物質の相転移を利用
    - 金属-絶縁体転移
    - アモルファス-結晶転移
  - 半導体素子内部の正帰還を利用
    - サイリスタ(pnpn接合)など



# 負性抵抗の例



負性抵抗  $-R$  に電圧を加えると、消費電力が負になる。消費電力が負とは、電力が発生することに相当する。

電圧を加えると、電流が逆流するように正帰還のかかった回路は、負性抵抗と見なせる。

増幅回路の入インピーダンスが非常に大きいと仮定すると

$$\begin{cases} V_2 = AV_1 \\ V_1 - V_2 = RfI_1 \end{cases}$$

$$V_1 - AV_1 = RfI_1$$

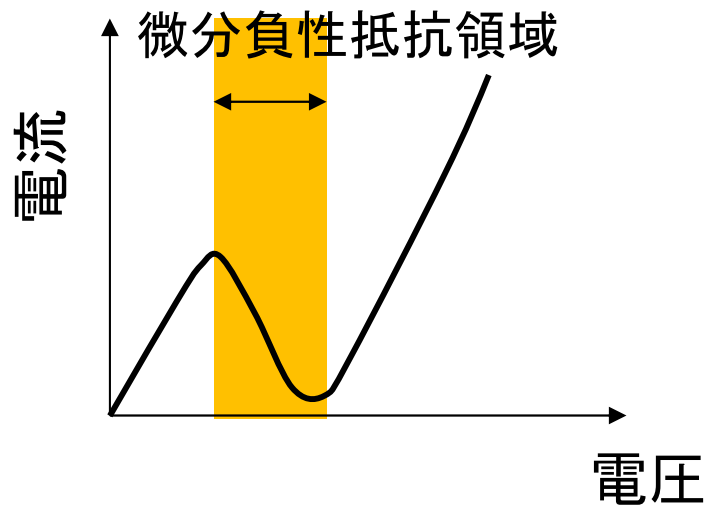
$$Z_{in} = \frac{V_1}{I_1} = -\frac{Rf}{A-1}$$

$A > 1$  のとき  $Z_{in} < 0$  となる

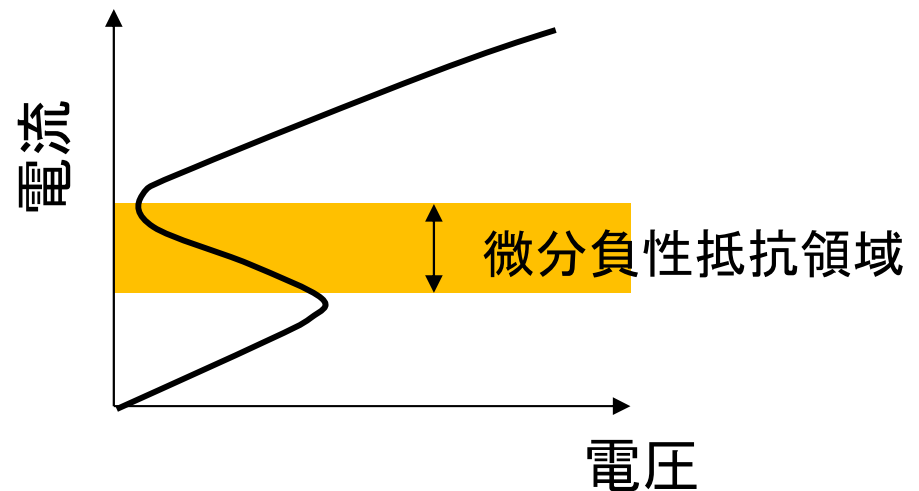


# 微分負性抵抗の例

電力供給無しに、負性抵抗を作ることは、エネルギーを無限に発生させることを意味する。従って、I-V特性の第2、第4象限の負性抵抗(真の負性抵抗)を実現する方法は見つかっていない。負性抵抗を持つ半導体デバイスは、第1、第3象限の中で直流バイアス電圧を印加して、微分負性抵抗(傾きが負の領域)を利用する。微分負性抵抗電圧源と負荷を繋ぐだけで発振可能。

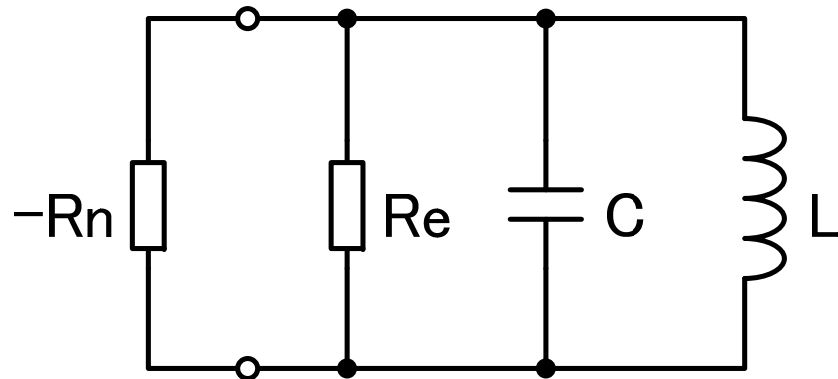


N字型微分負性抵抗



S字型微分負性抵抗

# 発振余裕度（発振の安定性）



負性抵抗の考え方は、発振の安定性を評価する場合にも使われる。

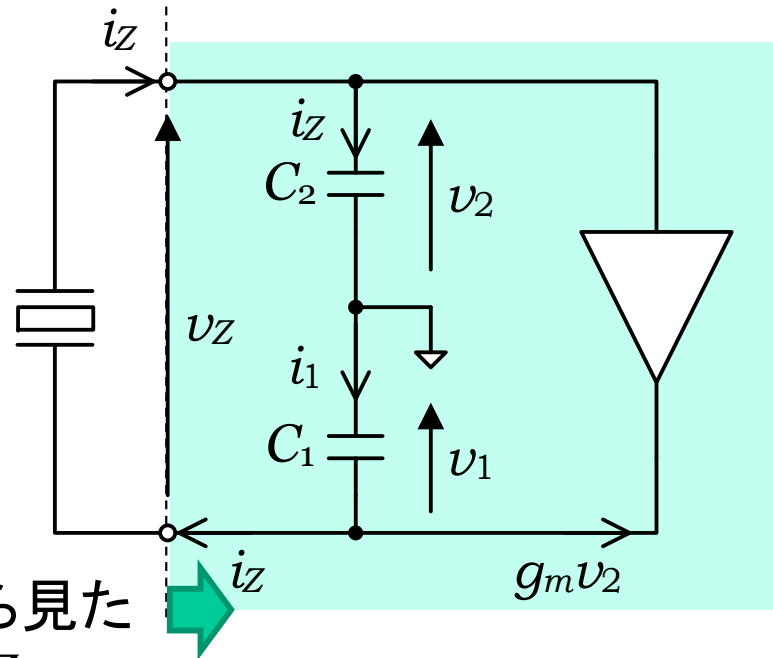
- 負性抵抗  $-R_n$
- 共振回路の実効抵抗  $R_e$   
( $R_e$ は有効電力を消費するインピーダンスの実数成分)

発振余裕度  $M_{OSC} = \frac{R_n}{R_e} \geq 1$  のとき発振が持続する

(実際には余裕を設けて、 $M_{OSC} = 5 \sim 10$  以上にする)

発振余裕度が小さいと、素子の特性ばらつきや温度変化により、発振が止まるため、実用回路を作る際には確認が必要。

# 水晶発振回路の負性抵抗の見積り1



← 負性抵抗発生部分

$$v_2 = \frac{1}{j\omega C_2} i_z$$

$$v_1 = \frac{1}{j\omega C_1} i_1 = \frac{1}{j\omega C_1} (i_z + g_m v_2)$$

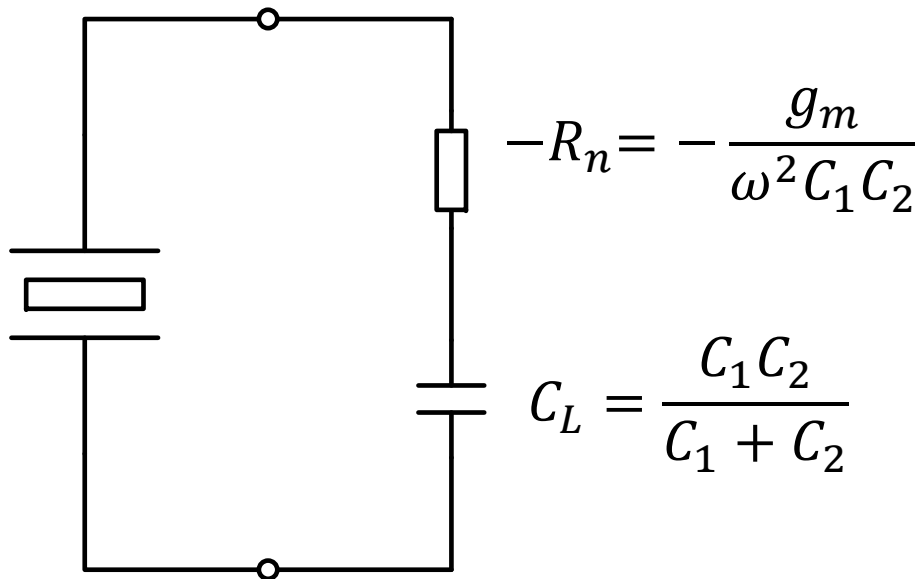
水晶振動子から見た  
インピーダンスZ

$$v_z = v_1 + v_2 = \frac{1}{j\omega} \left( \frac{1}{C_1} + \frac{1}{C_2} \right) i_z + \frac{g_m}{j\omega C_1} v_2 = \frac{1}{j\omega} \left( \frac{1}{C_1} + \frac{1}{C_2} \right) i_z + \frac{g_m}{j\omega C_1} \frac{1}{j\omega C_2} i_z$$

$$Z = \frac{v_z}{i_z} = -\frac{g_m}{\omega^2 C_1 C_2} + \frac{1}{j\omega} \left( \frac{1}{C_1} + \frac{1}{C_2} \right) \equiv -R_n + \frac{1}{j\omega C_L}$$

↑  
負性抵抗

# 水晶発振回路の負性抵抗の見積り2



$R_n$ の正確な見積もりは難しいので、次ページのように回路シミュレーションで求める。

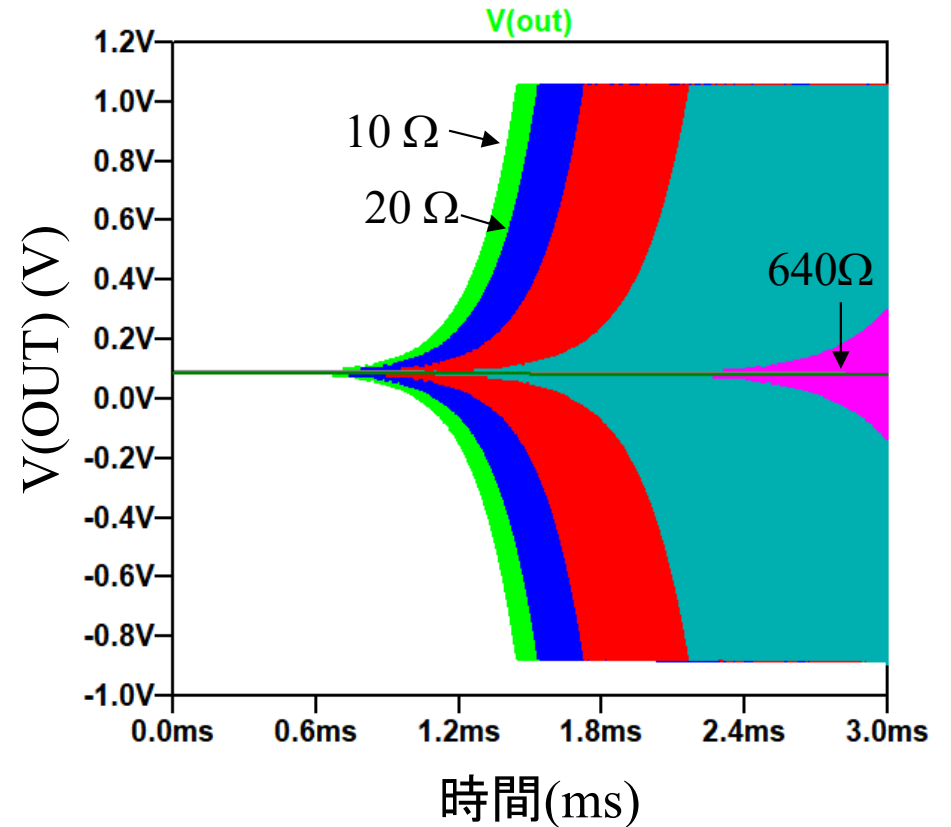
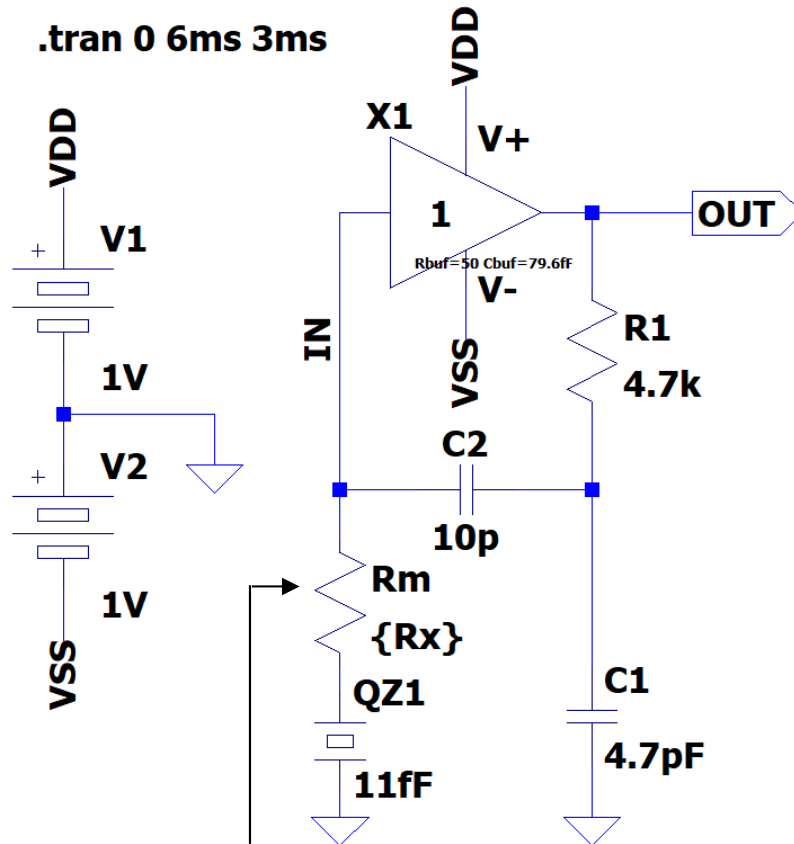
負性抵抗により表した水晶  
発振回路の等価回路

# 負性抵抗の測定方法

.step param Rx list 10 20 40 80 160 320 640

.ic V(IN)=0.1V

.tran 0 6ms 3ms



発振が起こらなくなるRmの値を求める(この例では640Ω)

$$|R_n| = R_m + R_e \quad (R_e \text{は水晶振動子の抵抗成分})$$

# 発振余裕度の計算

$R_e$  は、共振回路内の抵抗成分に相当。ただし、 $C_L$ の影響で、直列共振時( $L1, C1'$ が共振)の全消費電力は、 $C_L$ がない場合に比べて大きくなる。この場合の $R_e$ は下記のように求められる。

水晶振動子内の損失

$$R_e = R1 \left( 1 + \frac{C0}{C_L} \right)^2 = 10 \left( 1 + \frac{3.0\text{pF}}{3.2\text{pF}} \right)^2 \Omega$$

実験のために挿入した損失

$$R_m = 640\Omega$$

負性抵抗

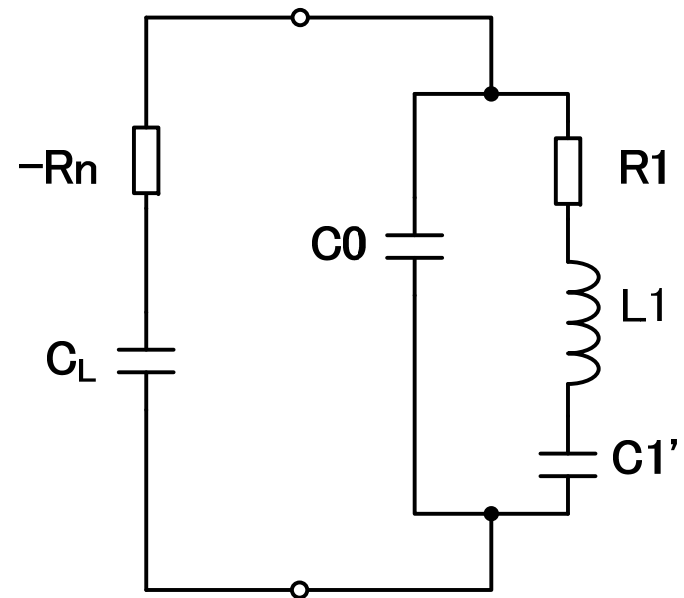
$$R_n = R_m + R_e = 678\Omega$$

発振余裕度

$$M_{osc} = \frac{R_n}{R_e} = 18.0$$



もし、発振余裕度が不足しているようなら、 $C_L$ ( $C1, C2$ )を小さくする。



# 第7章のまとめ

- 発振回路の役割
  - クロックを発生
  - キャリアを発生
  - 基準信号(正確な周波数)を発生
- 正帰還回路の発振条件
  - 位相条件(周波数条件ともいう)→発振周波数を決定
  - 振幅条件(電力条件ともいう)→増幅器の利得を決定
- 発振回路の例
  - 移相型発振回路(RC回路による位相変化を利用)
  - ウィーンブリッジ発振回路(BPFを利用)
  - LC発振回路(Colpitts oscillator, Hartley oscillator)(LC共振を利用)
  - 水晶発振回路(LC共振器を水晶振動子に置き換え)
- 発振余裕度
  - LC発振回路、水晶発振回路の安定性(デバイスのばらつきや環境変動に対する耐性)は、発振余裕度(負性抵抗の大きさ)で評価できる